

Heavy-Ion Cafe / Pub 合同研究会 post-QM19報告会

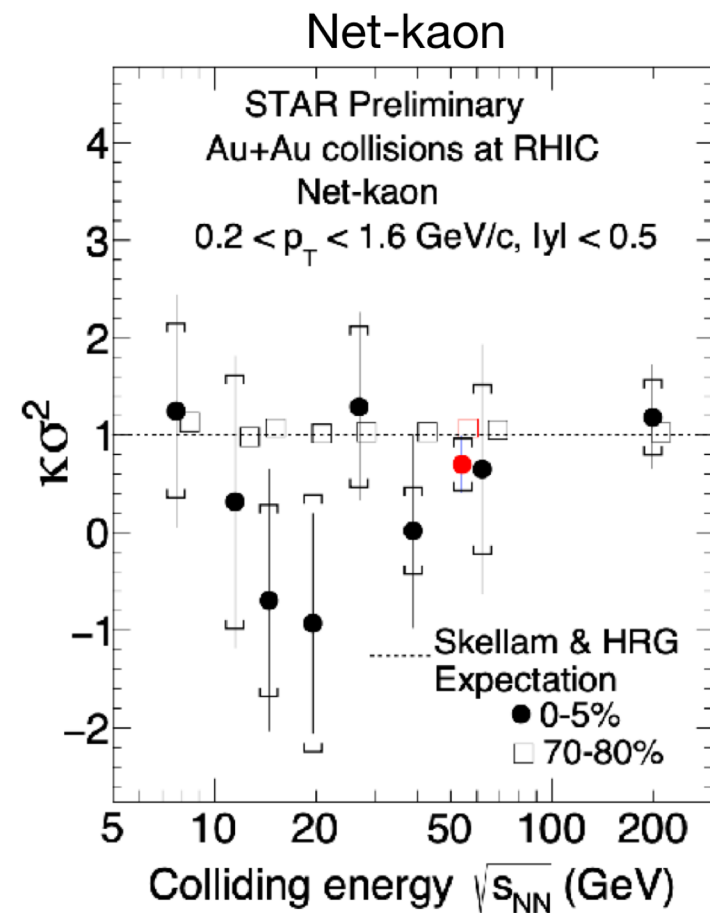
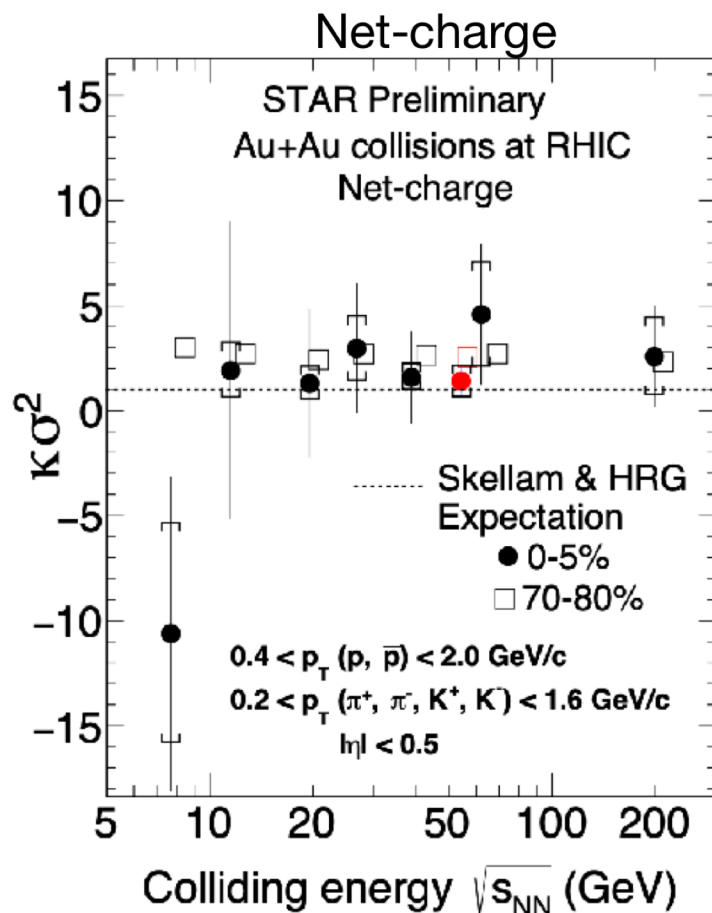
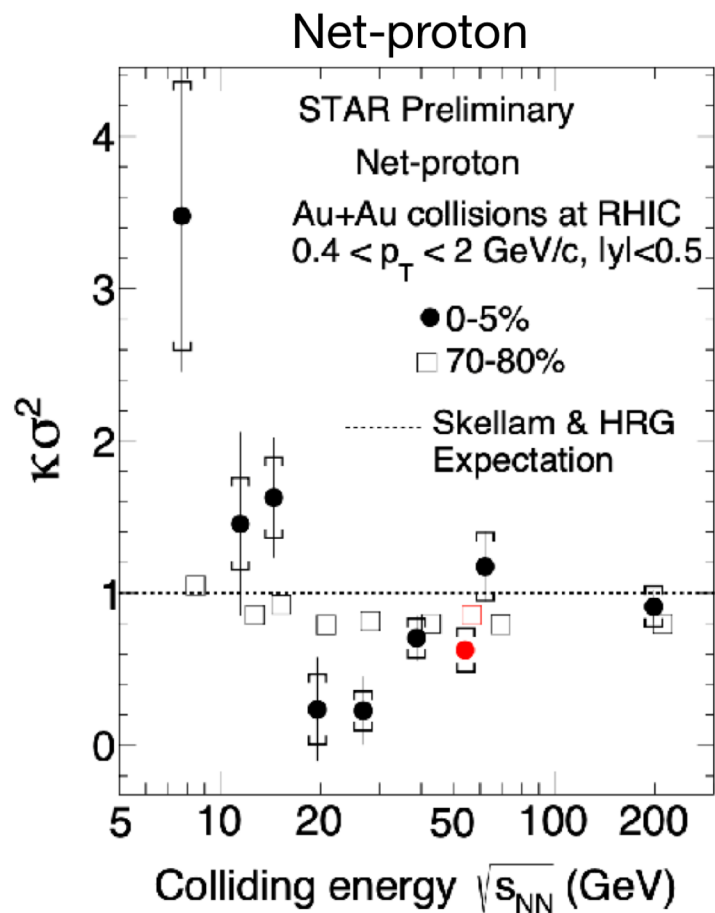
ソフト、小さい系から（実験）

筑波大学 数理物質系 物理学域
宇宙史研究センター 江角晋一

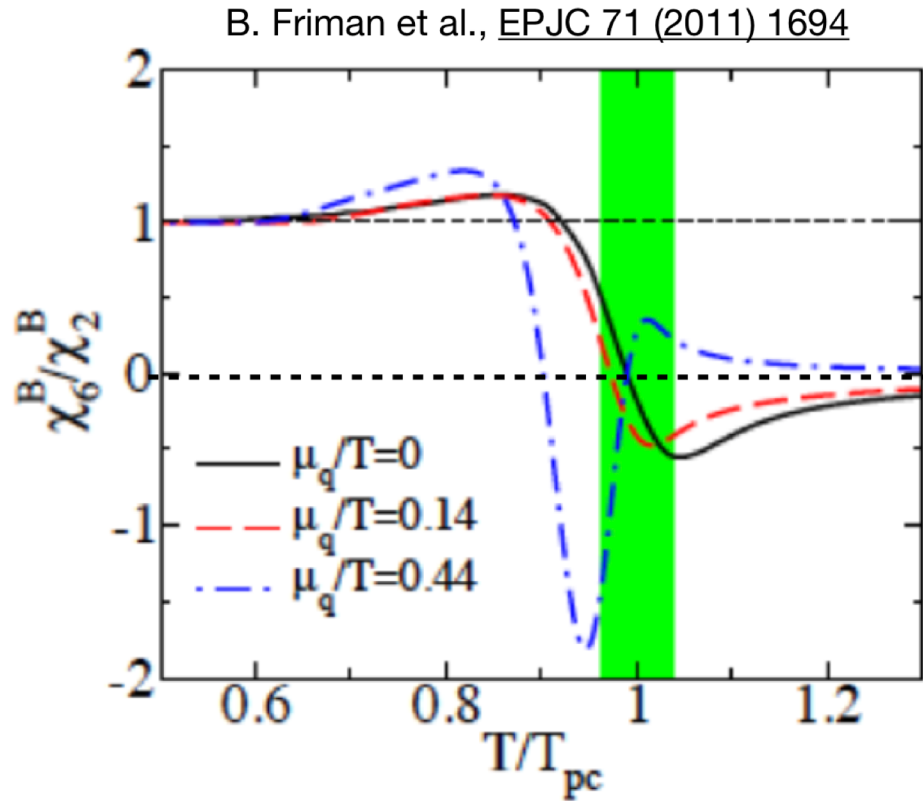
- ・ 揺らぎ、フリーズアウト
- ・ v_1, v_2 フロー、小さい系
- ・ 渦、磁場

4次揺らぎ

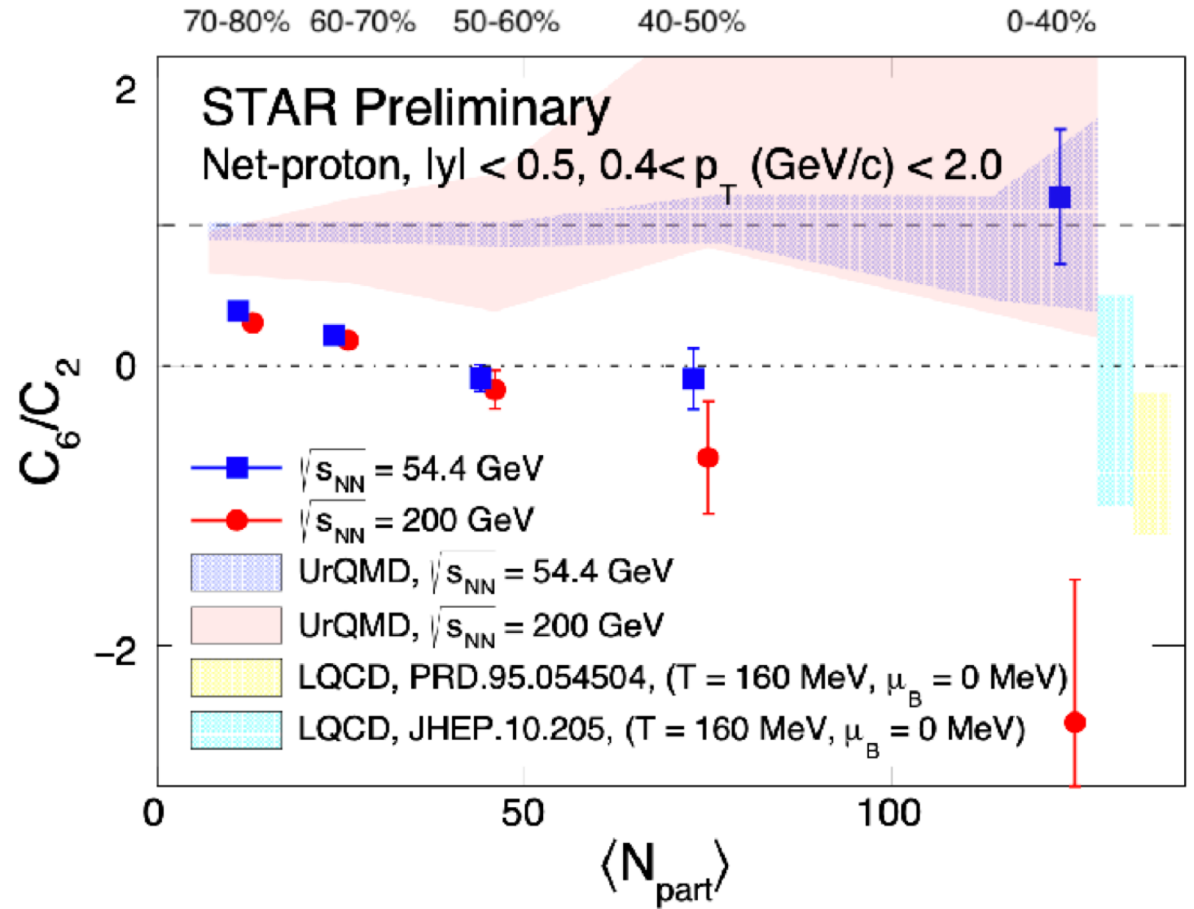
$$C_4/C_2 = \kappa\sigma^2$$



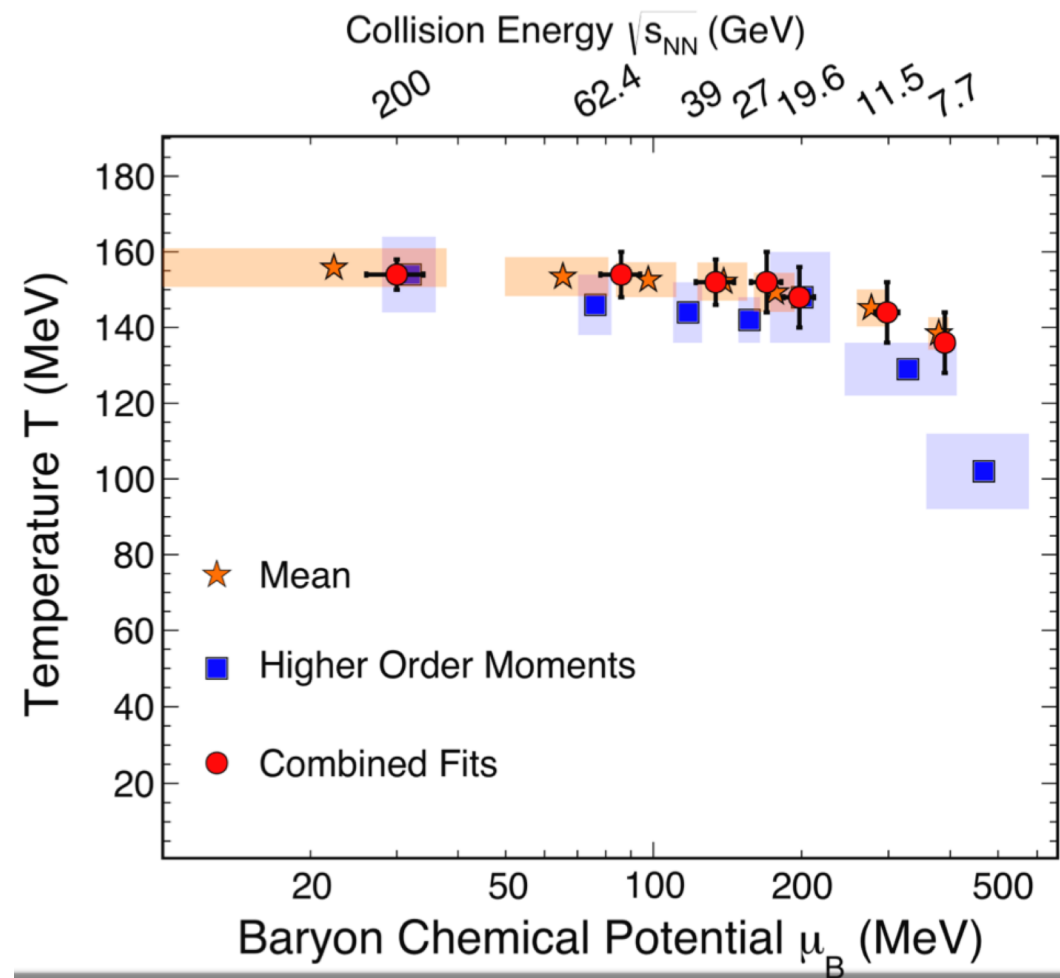
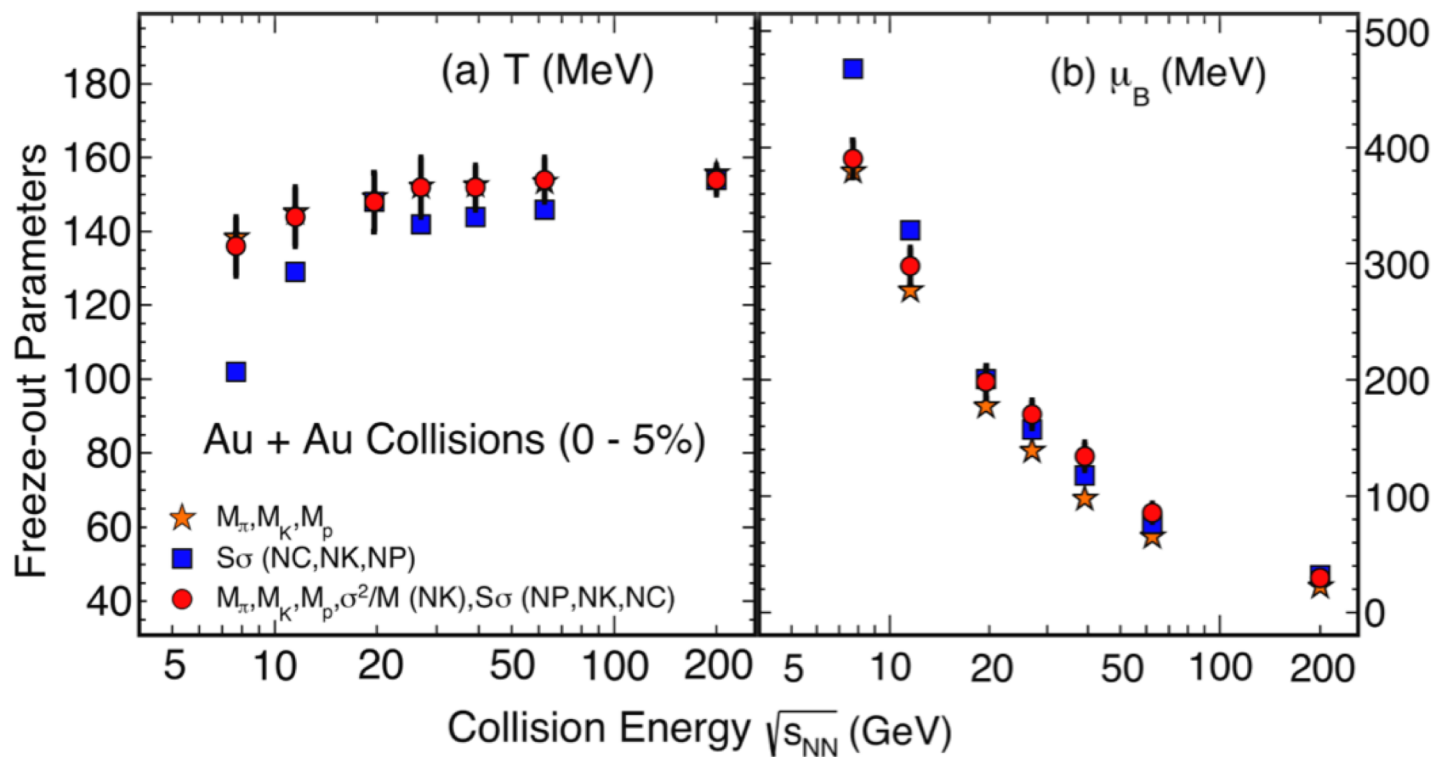
6次揺らぎ



Above $\sqrt{s_{NN}} > 60$ GeV, predicted $C_6/C_2 < 0$ for B (and Q)

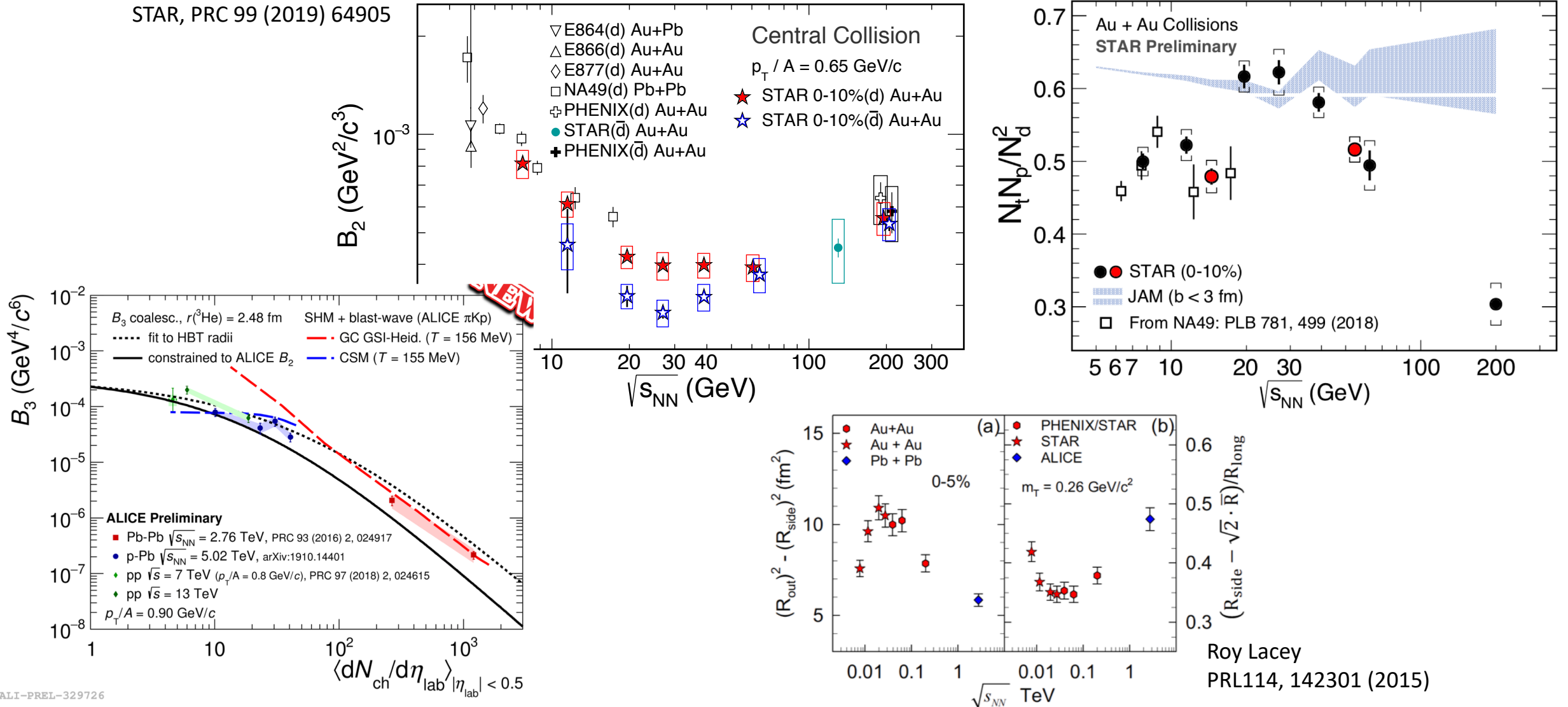


化学凍結温度（平均值、幅、非対称度）



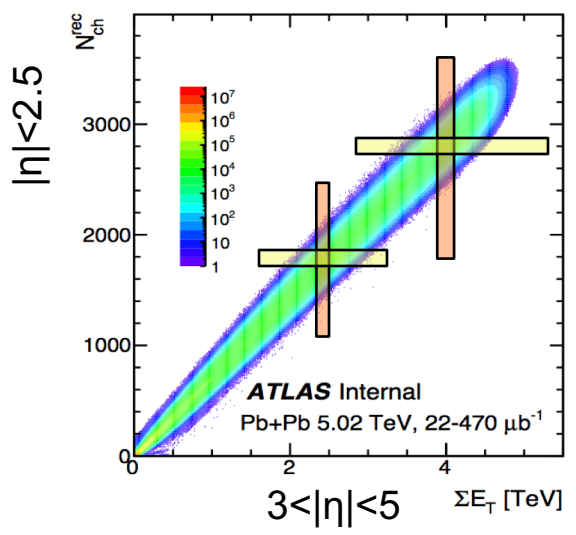
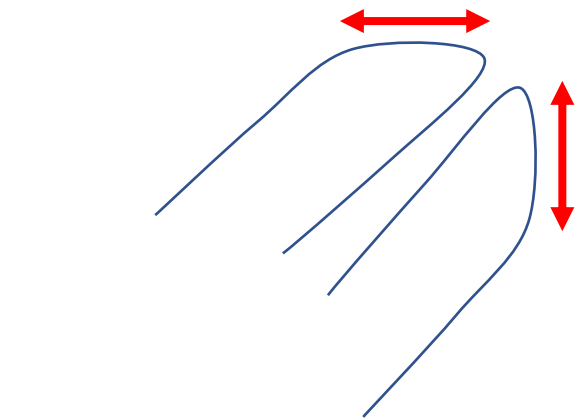
D. Mallick, QM19

コアレスセンス体積、中性子密度揺らぎ

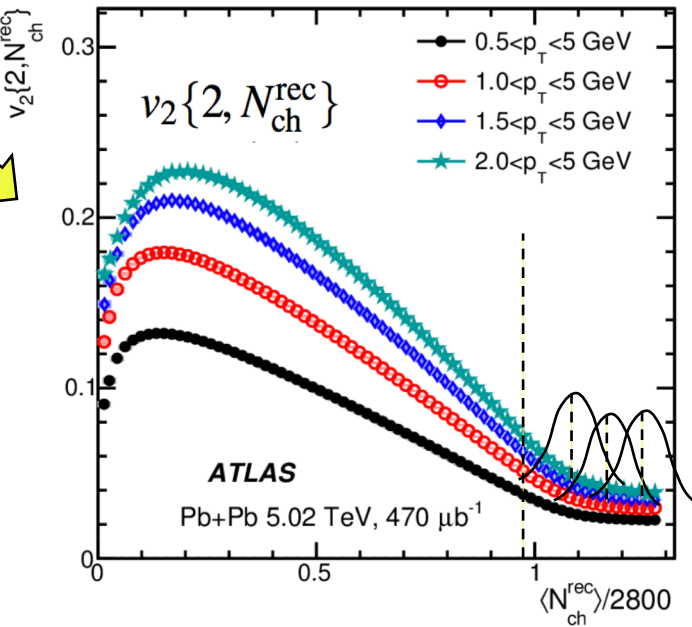
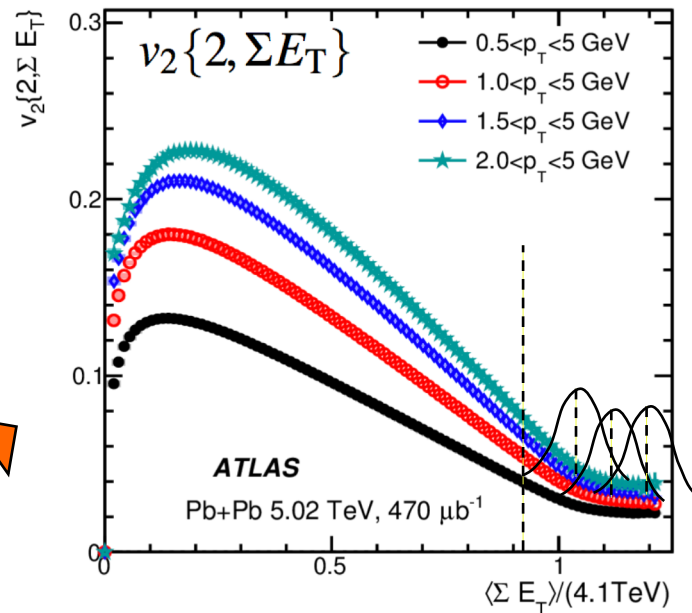


ALI-PREL-329726

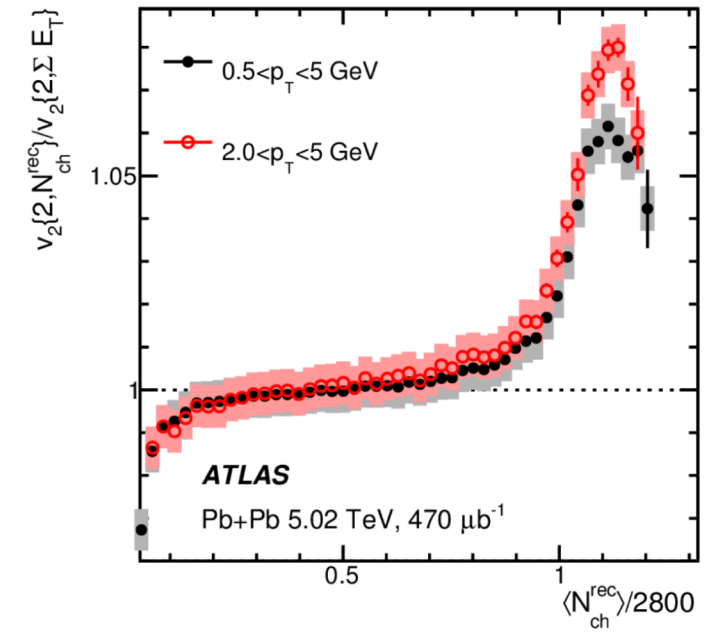
中心衝突度分解能、体積揺らぎの理解へ向けて



arXiv:1803.01812
M. Zhou and J. Jia

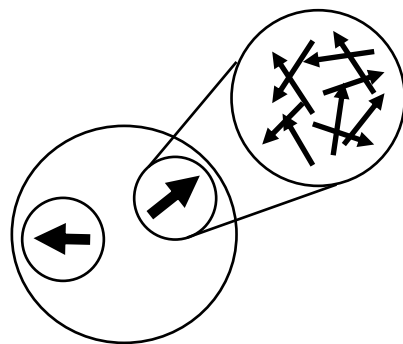
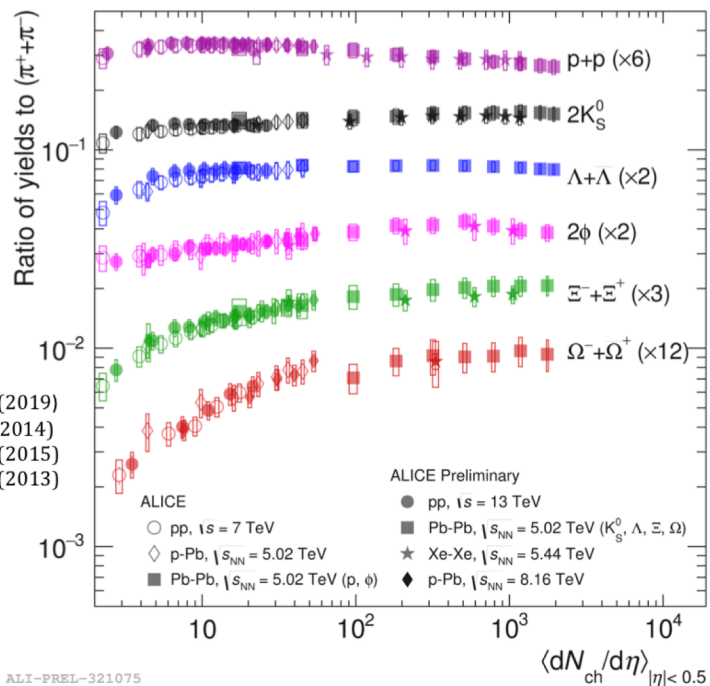
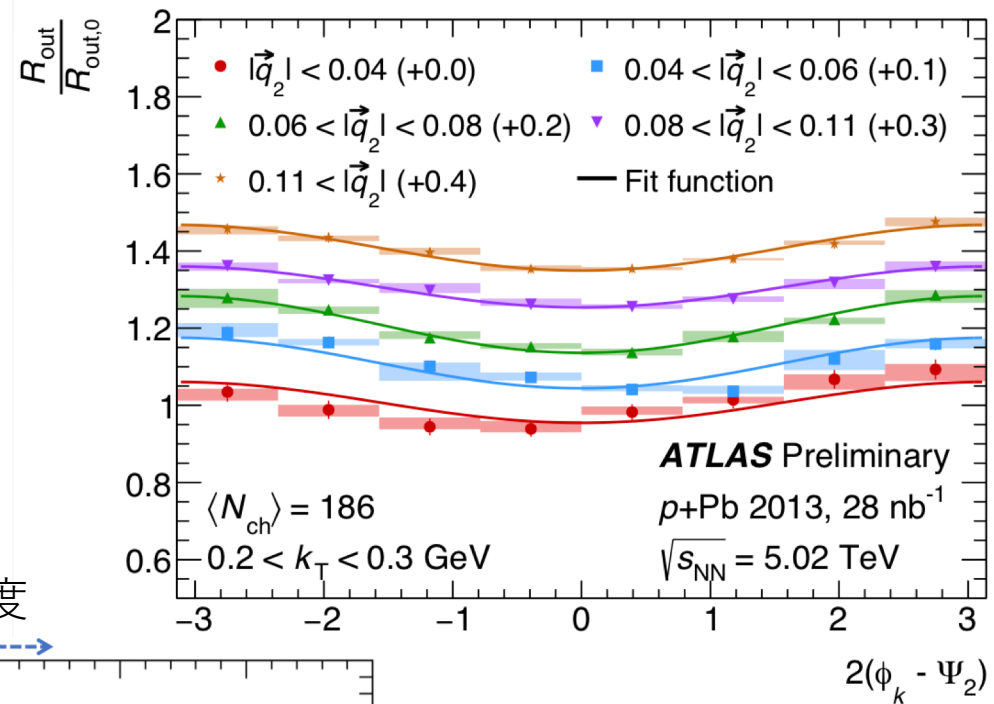


$$\frac{v_2\{2, N_{ch}^{rec}\}}{v_2\{2, \Sigma E_T\}} \text{ at same } N_{ch}$$

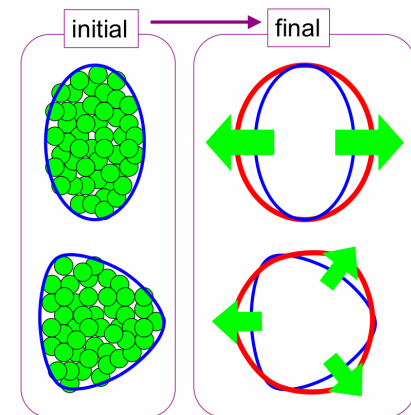
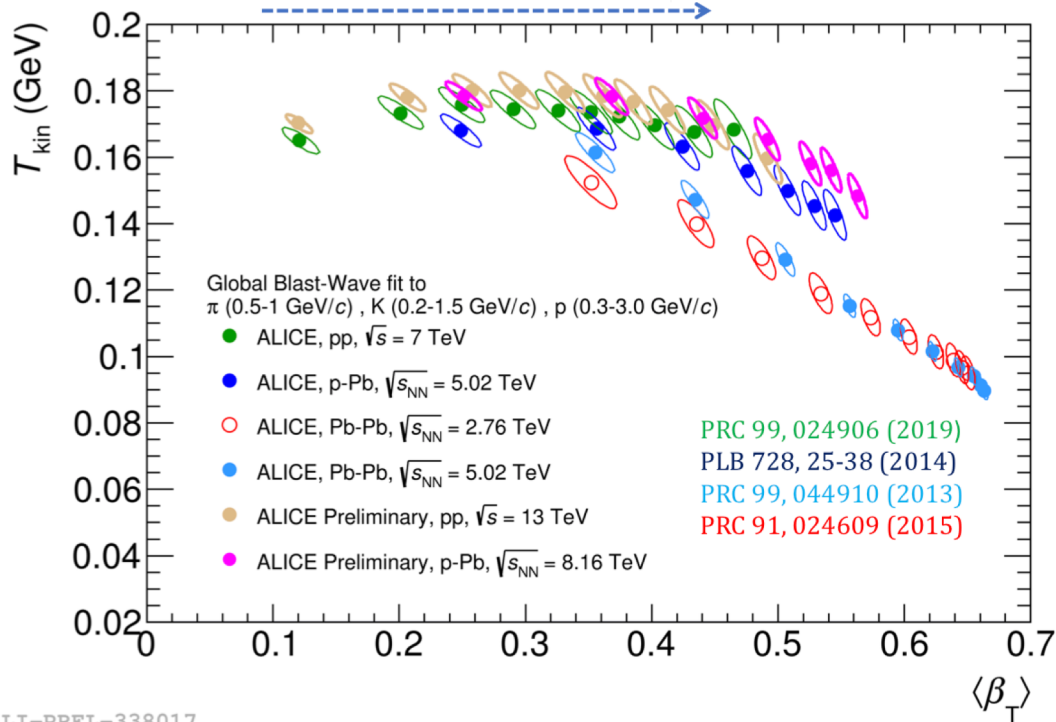


Larger centrality fluctuation for N_{ch} -bin (mid- η) than for E_T -bin (forward- η)
Significant centrality de-correlation along η

ストレンジネス増大、半径方向・楕円膨張

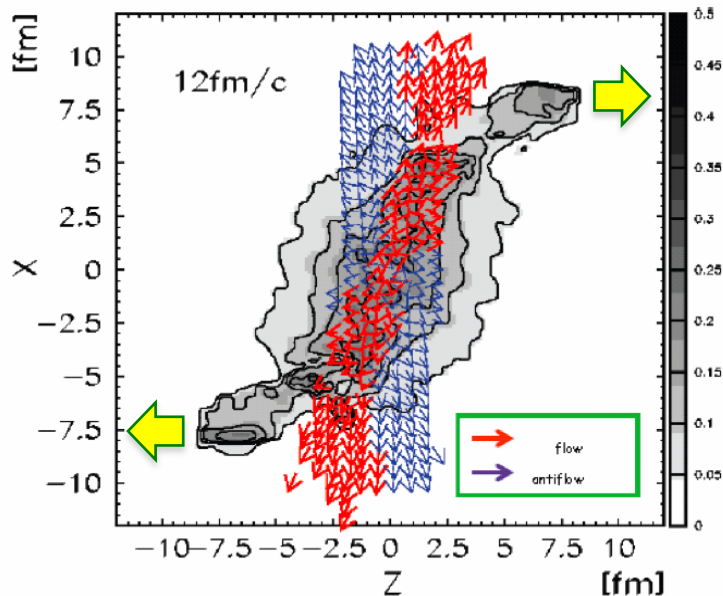


多重度、中心衝突度

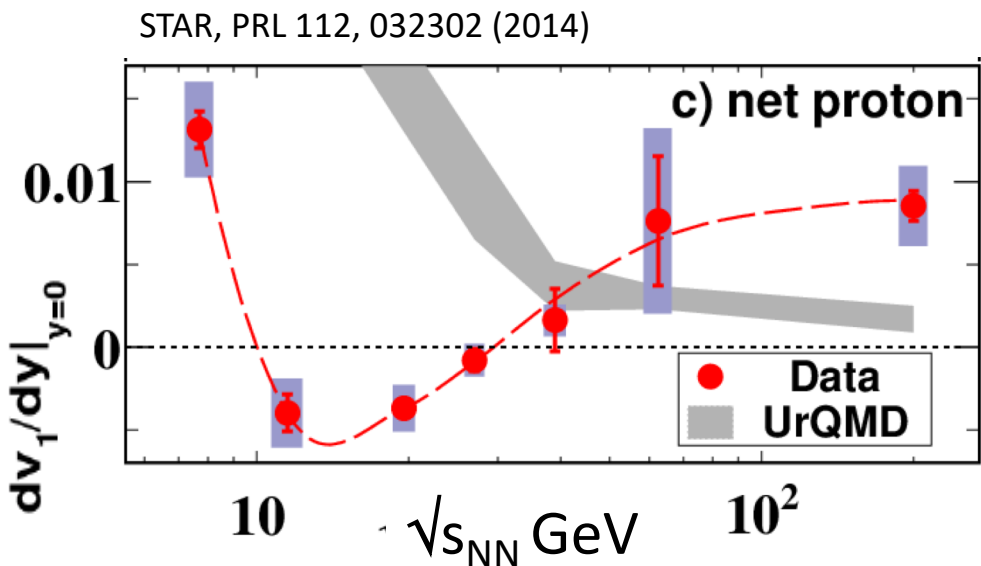


ALI-PREL-338017

ネット陽子の dv_1/dy

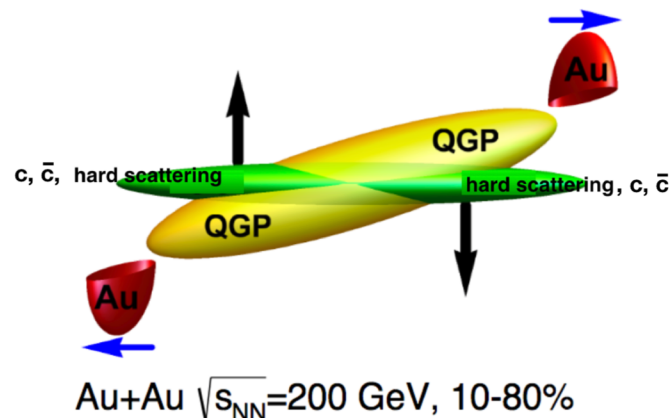


J. Brachmann et al., PRC 61, 24909 (2000).

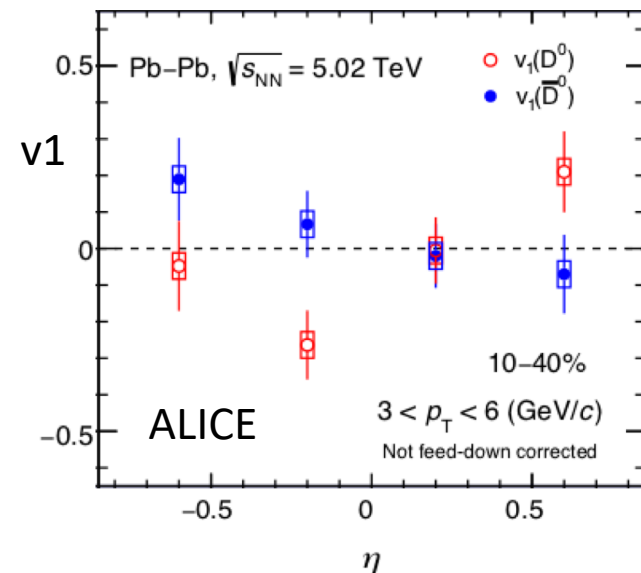


STAR, PRL 112, 032302 (2014)

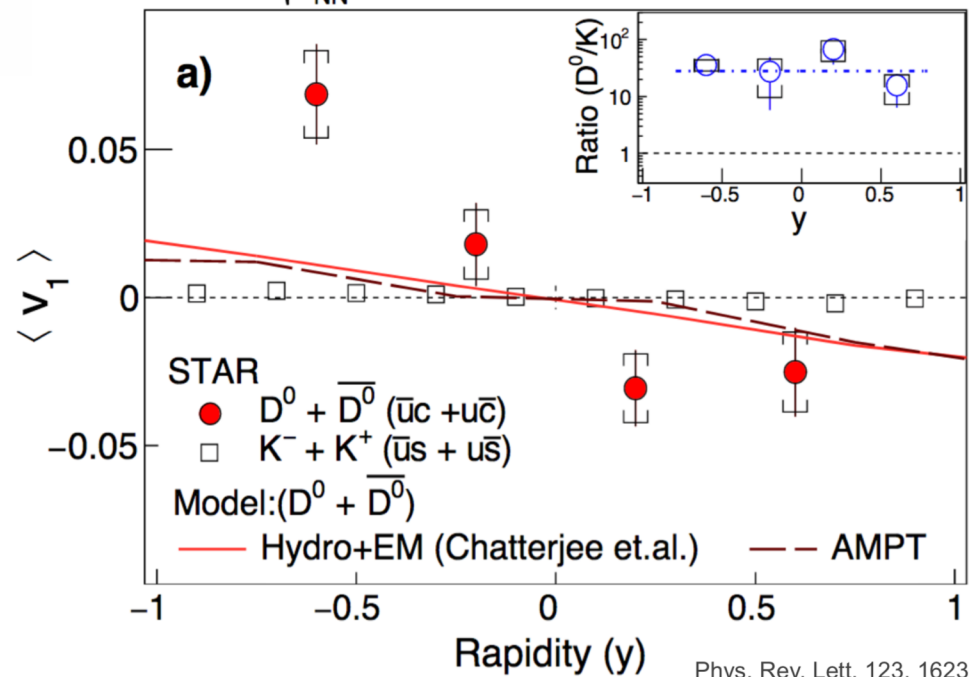
D⁰中間子 v1



Au+Au $\sqrt{s_{NN}}=200$ GeV, 10-80%

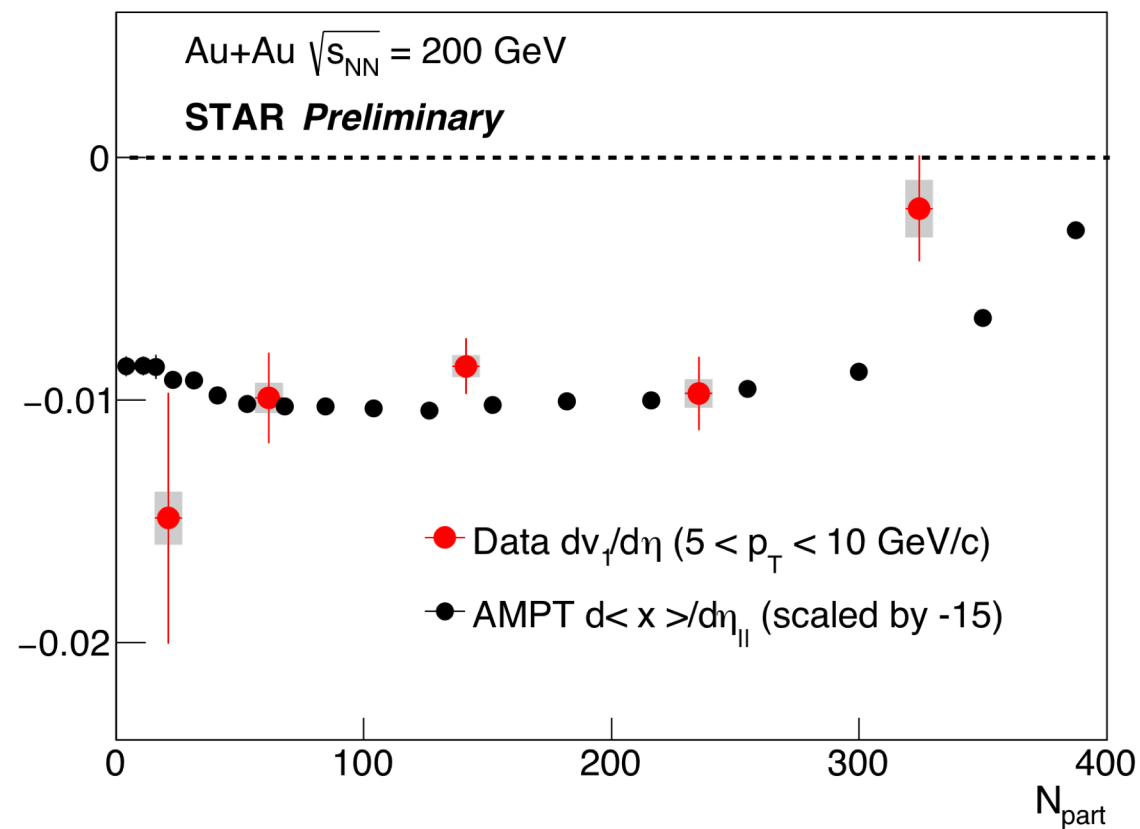
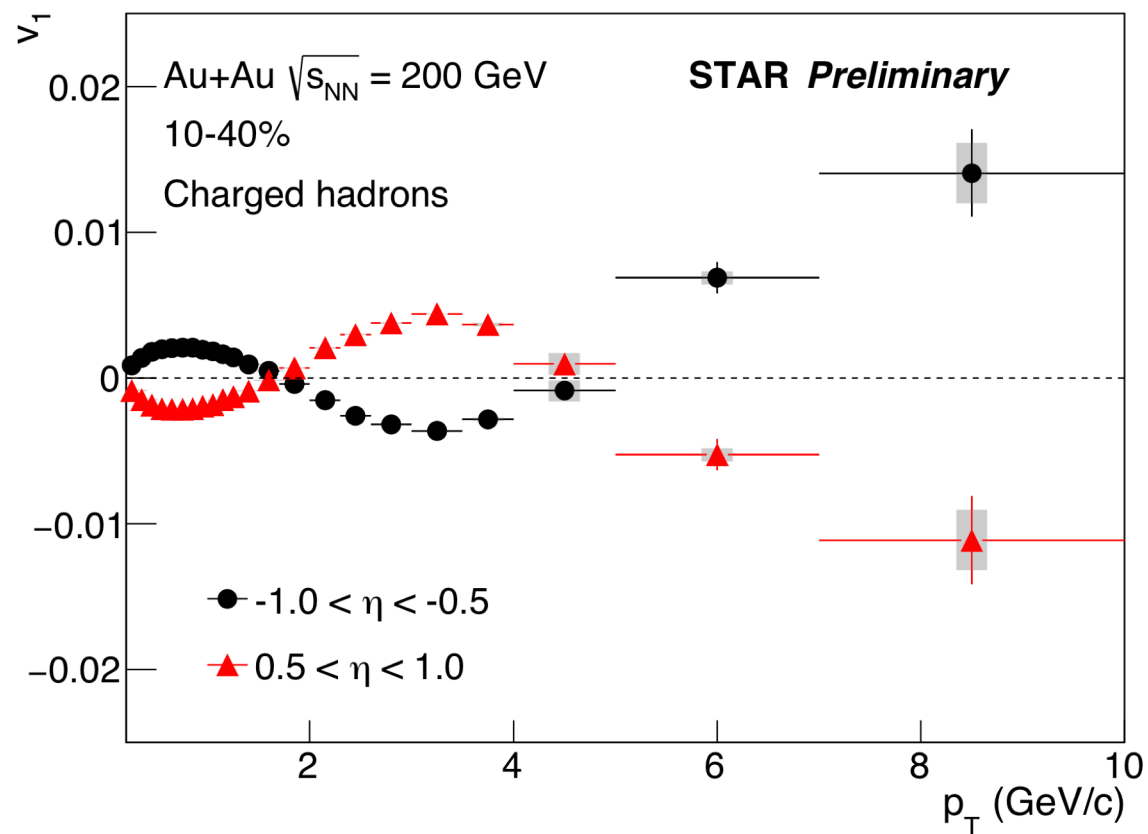


arXiv:1910.14406



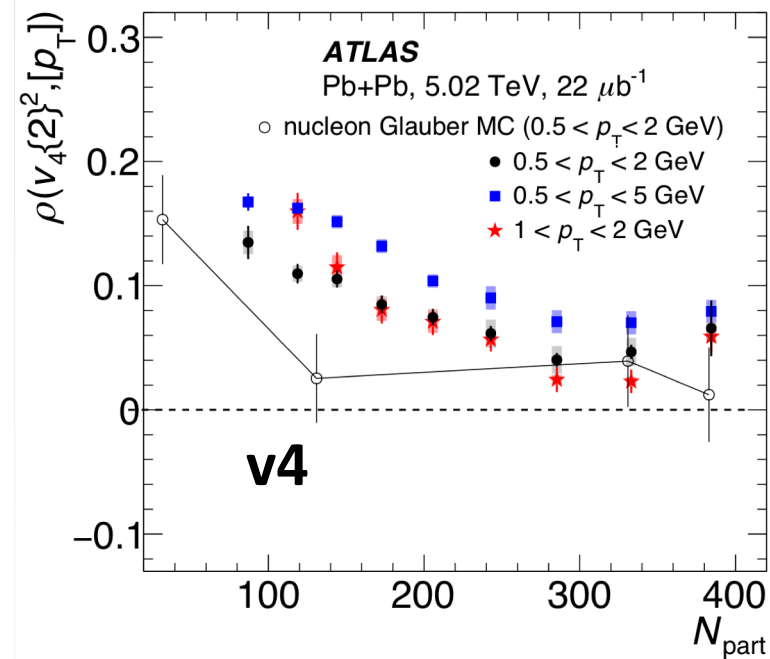
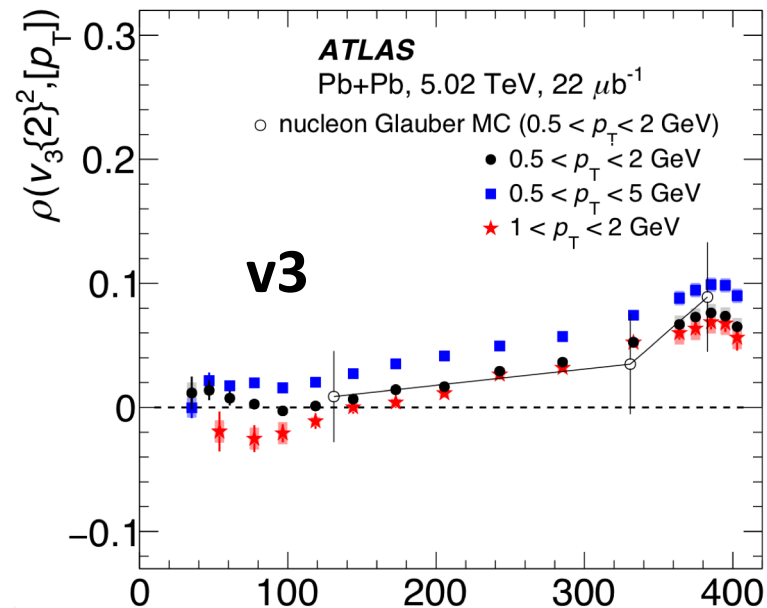
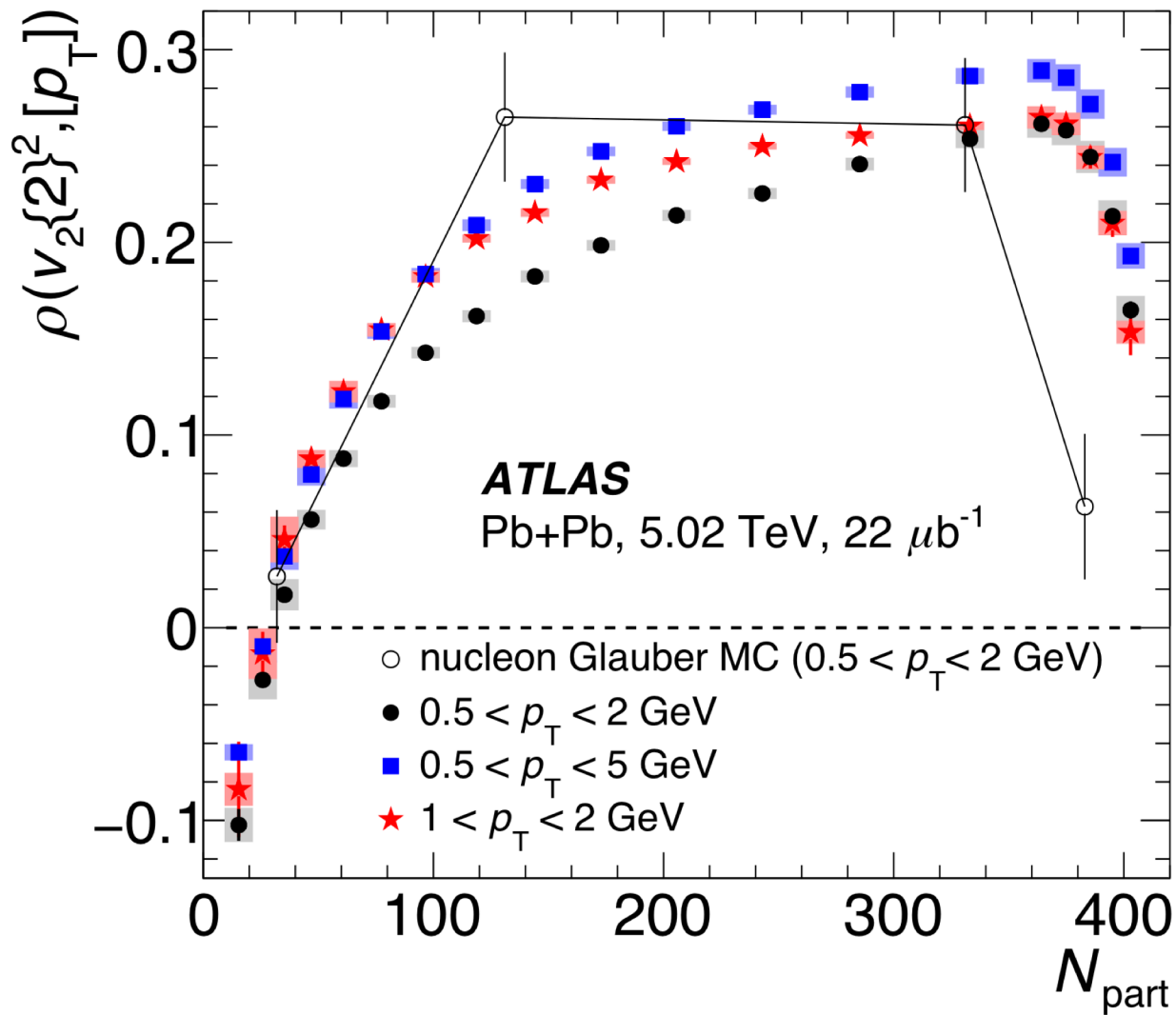
Phys. Rev. Lett. 123, 162301 (2019)

高い横運動量領域のv1



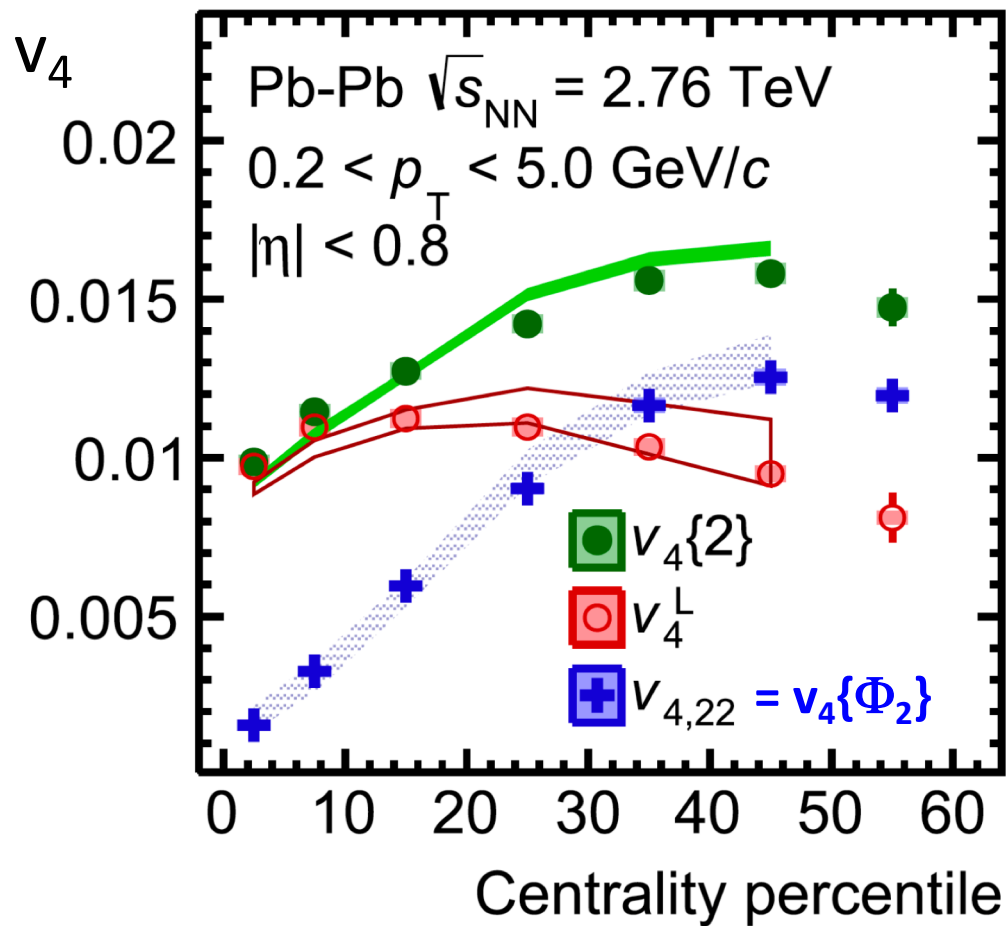
v2(q2) と共にradialフロー増大
(first ESE paper from ALICE)

v2 - pT 相関



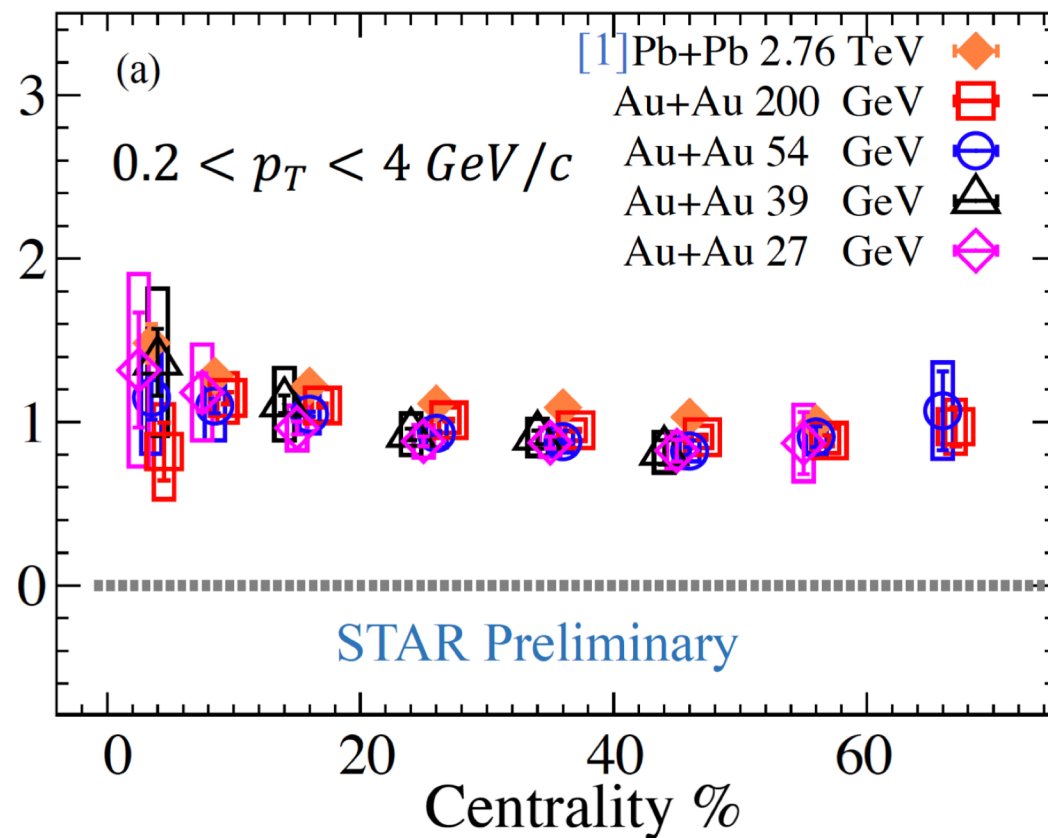
Linear and non-linear flow correlation/decomposition

ALICE, PLB 773 (2017) 68-80



$$\frac{v_{4,22}}{\sqrt{\langle v_2^4 \rangle}}$$

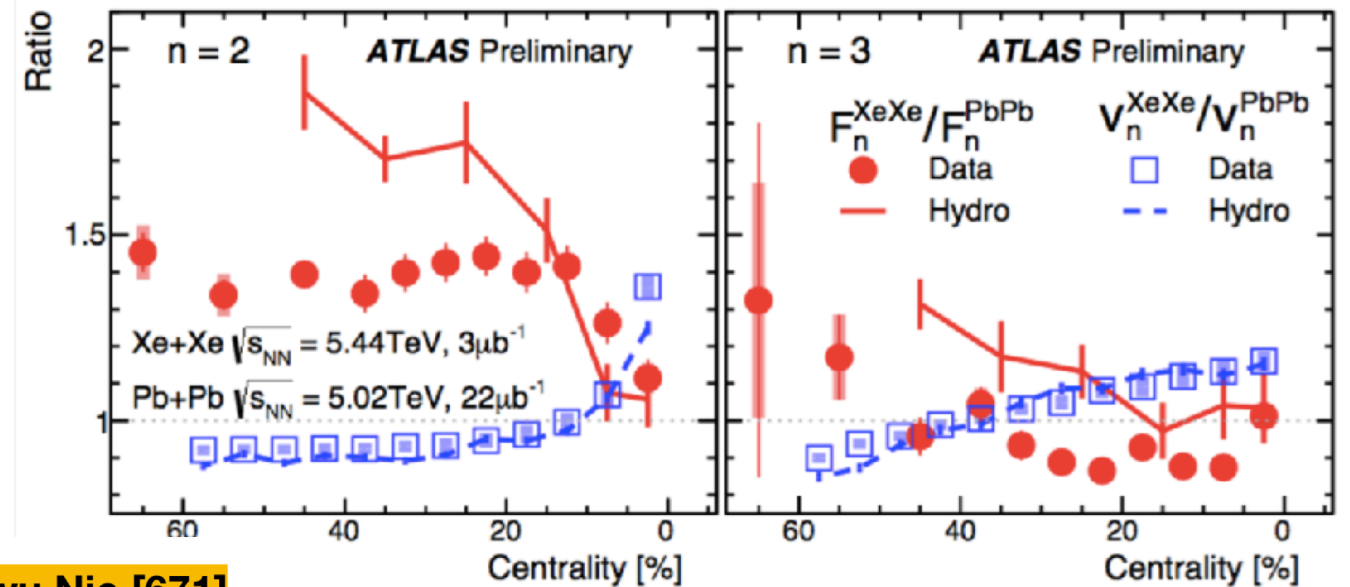
非線形係数 (4次-2次)



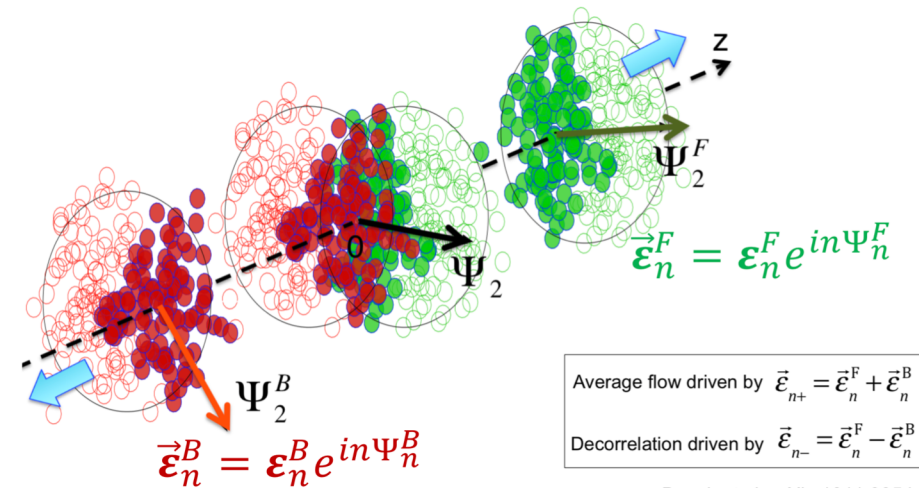
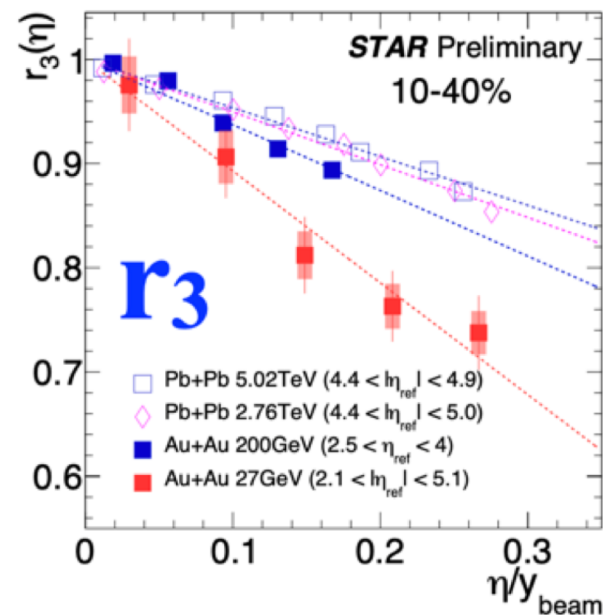
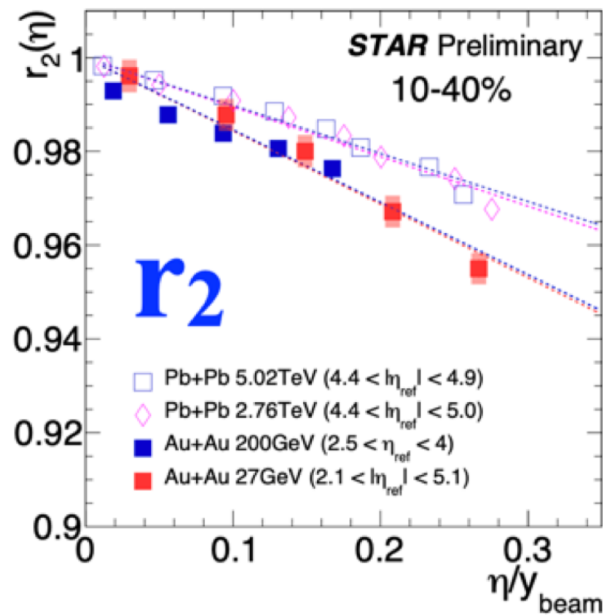
Longitudinal v2 and v3 decorrelation

$$r_n(\eta) = \frac{\langle V_n(-\eta)V_n^*(\eta_{\text{ref}}) \rangle}{\langle V_n(\eta)V_n^*(\eta_{\text{ref}}) \rangle}$$

$$r_{n|n}(\eta) = 1 - 2F_n\eta$$

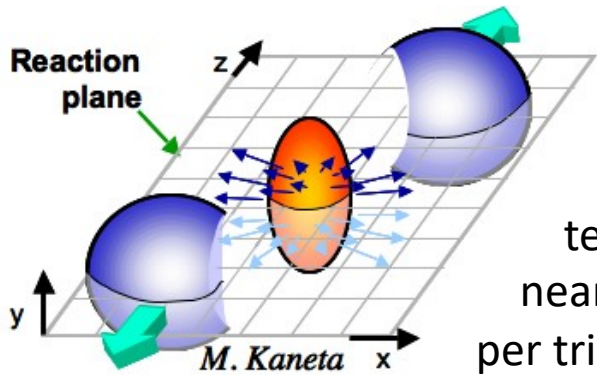
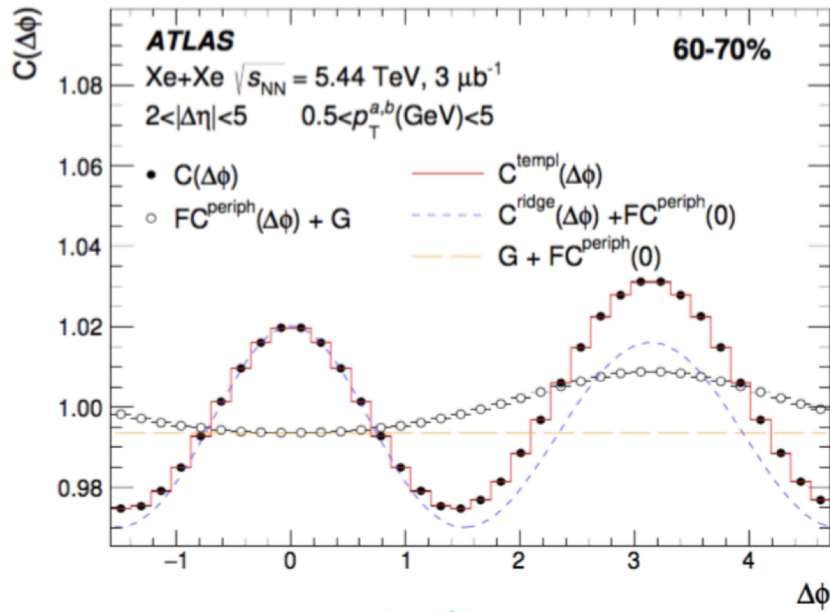


Maowu Nie [671]

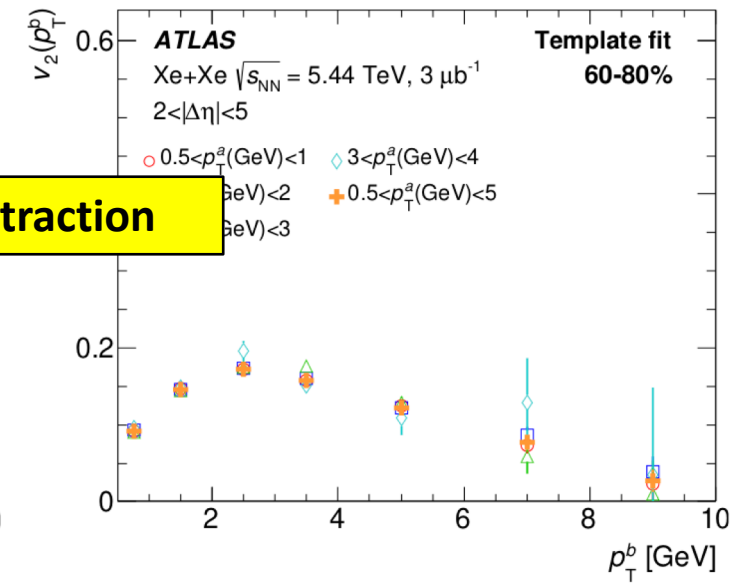
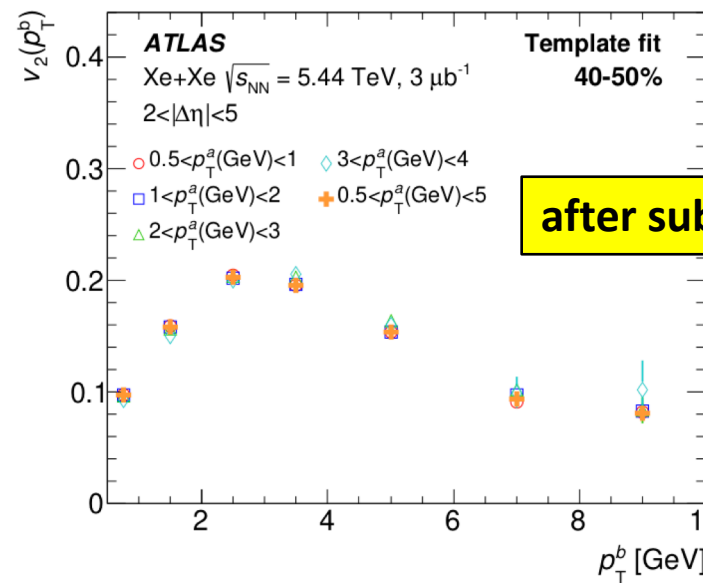
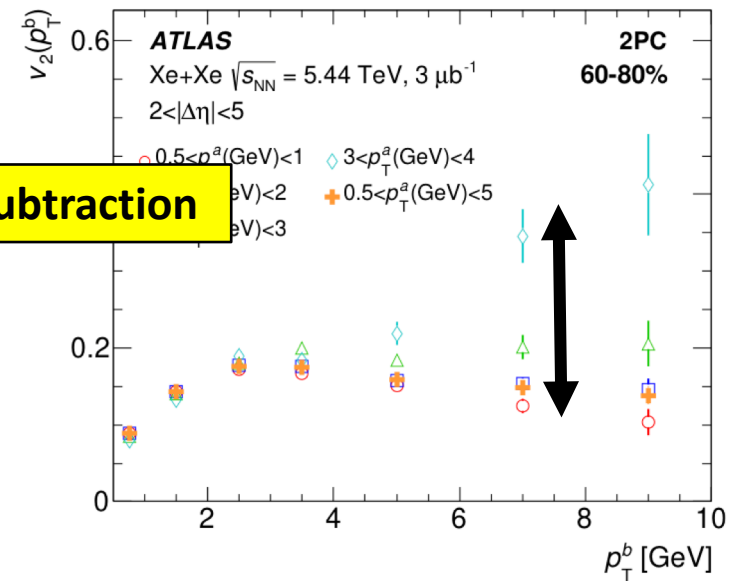
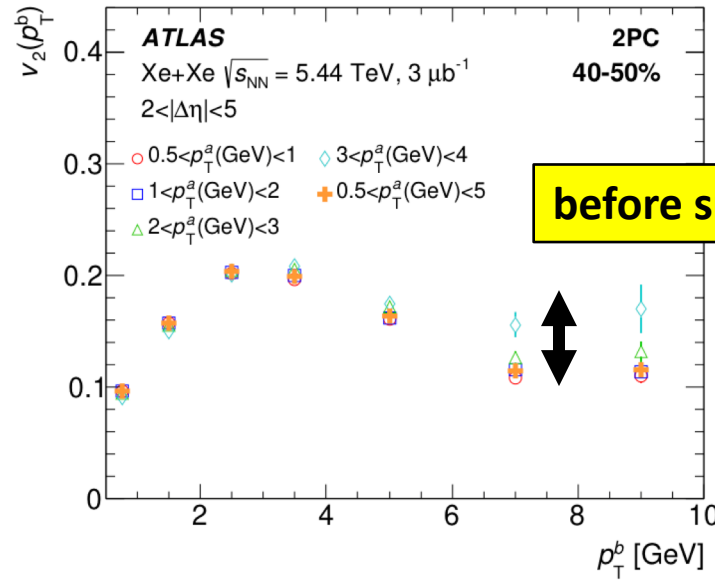


Bozek et al. arXiv 1011.3354

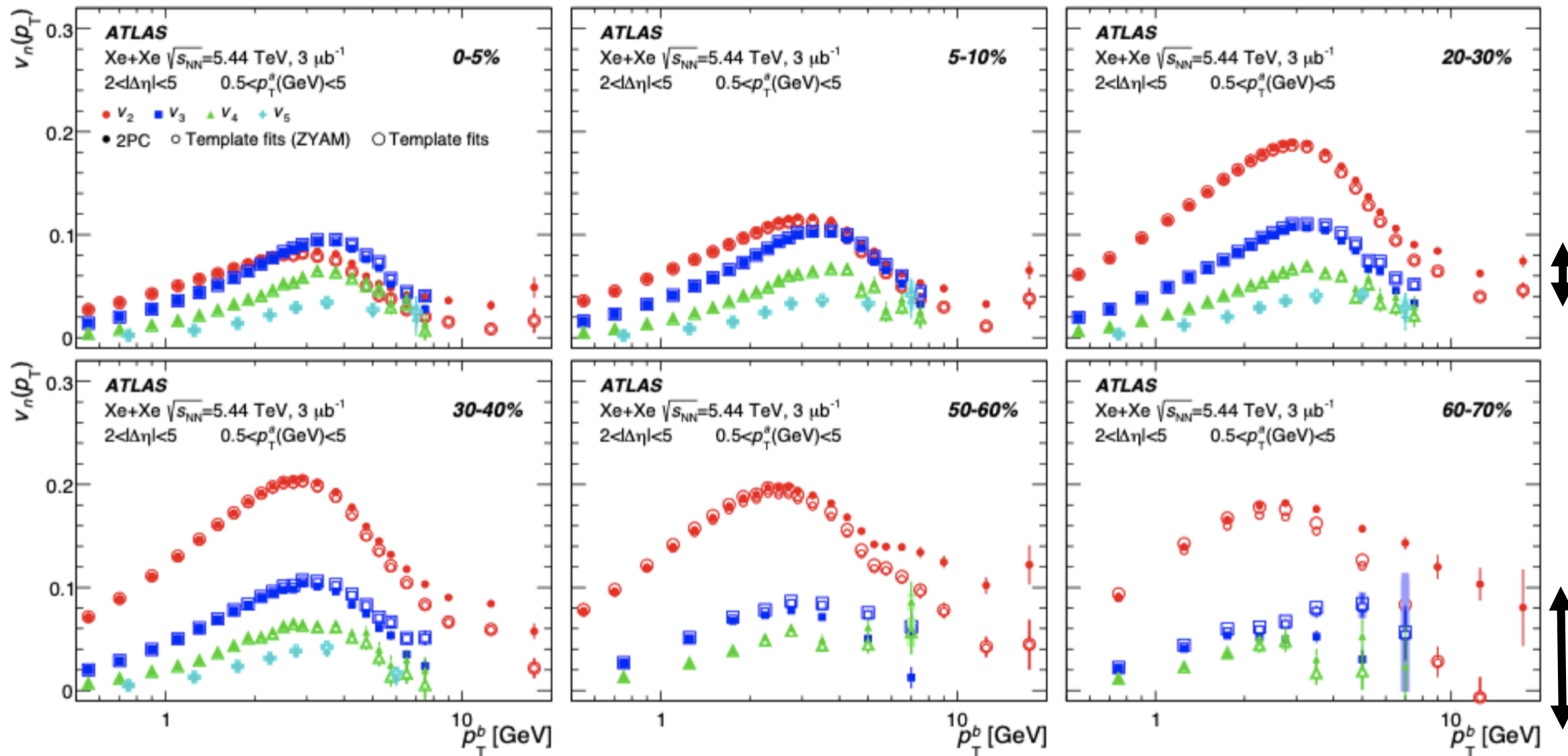
v2 at 5.44 TeV Xe+Xe



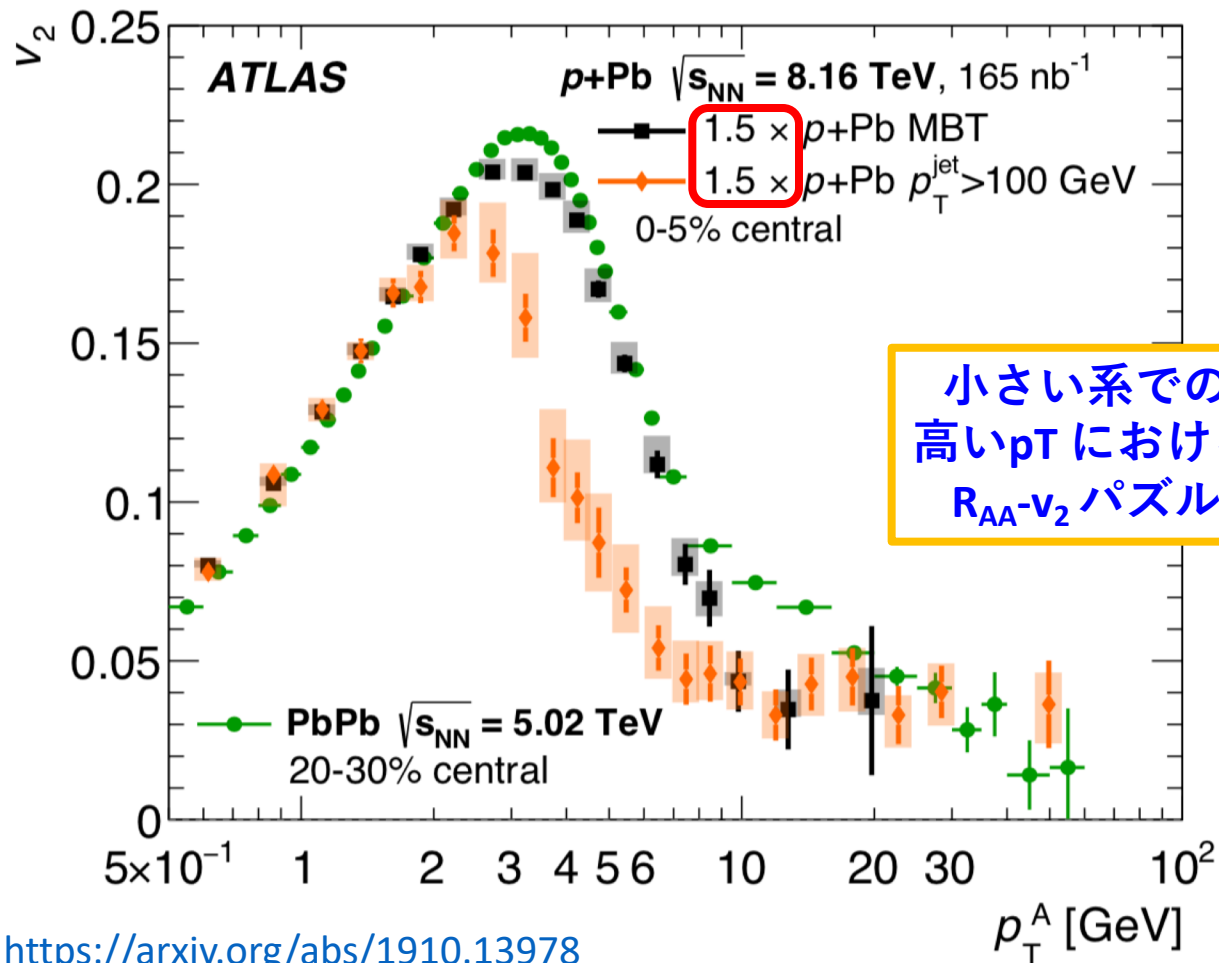
mult.-scaled
c1-scaled
reference fitting
template fitting
near-side jet scaled
per trigger yield sub.



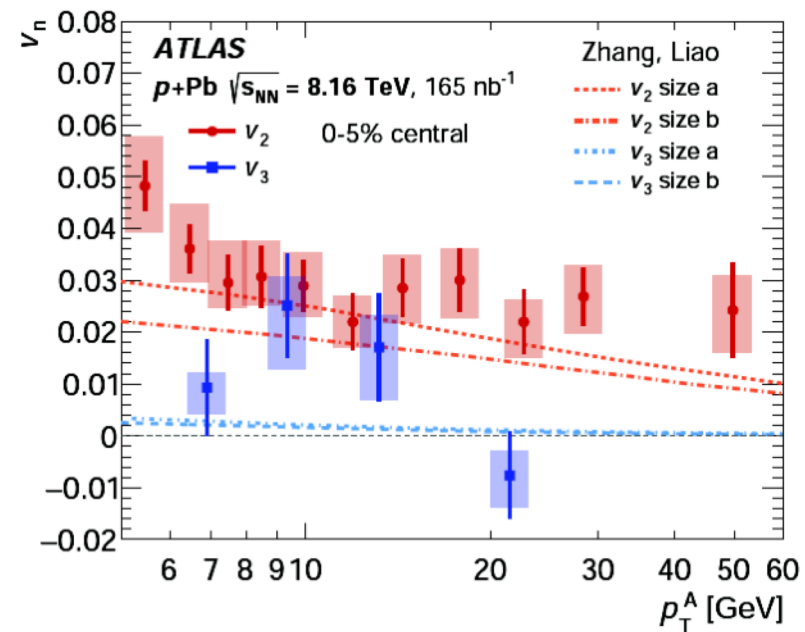
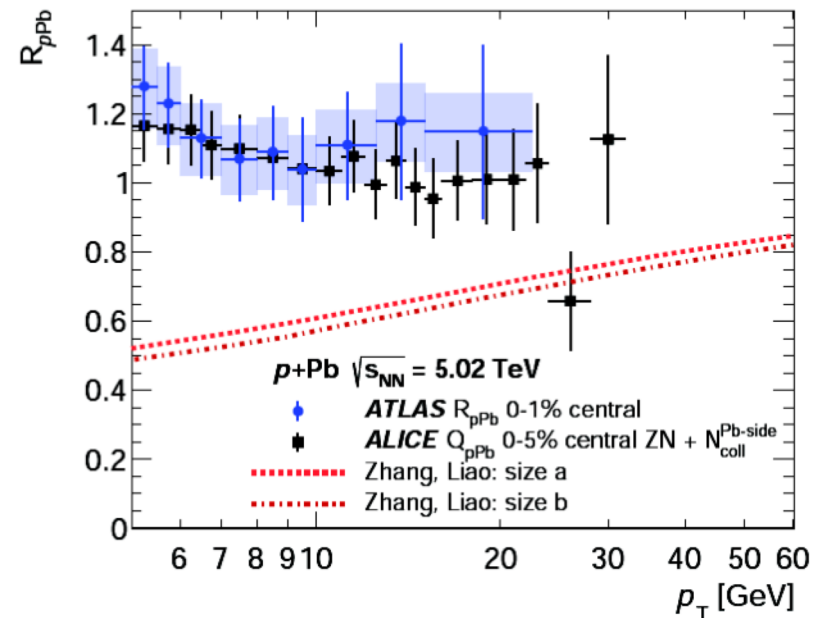
無視できない non-flow : 重イオン衝突においても



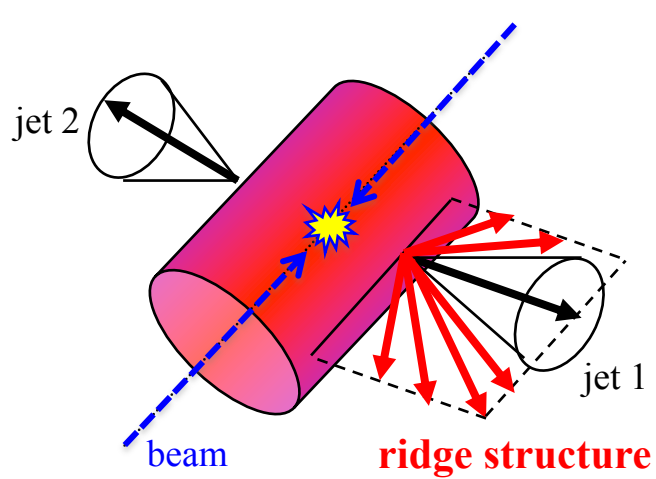
v2 at 8.16 TeV p+Pb (template fitting)



<https://arxiv.org/abs/1910.13978>

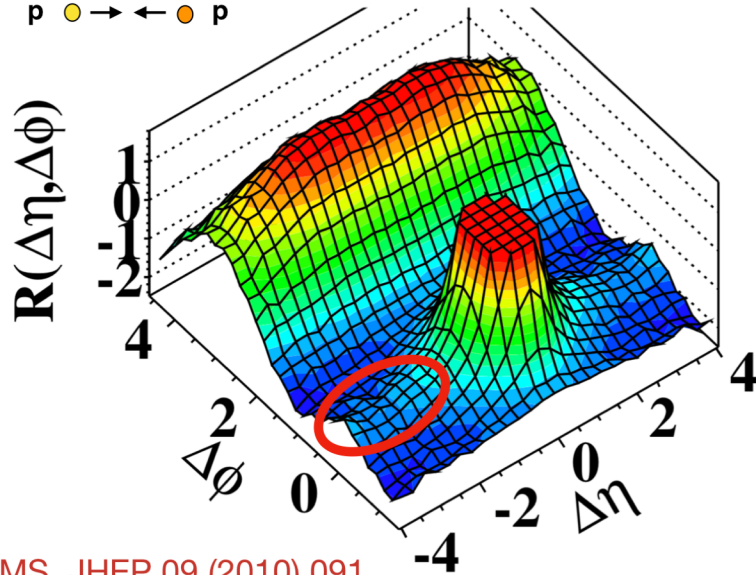


小さい系におけるリッジ (vn)



(d) CMS $N \geq 110$, $1.0 \text{ GeV}/c < p_T < 3.0 \text{ GeV}/c$

p \rightarrow \leftarrow p



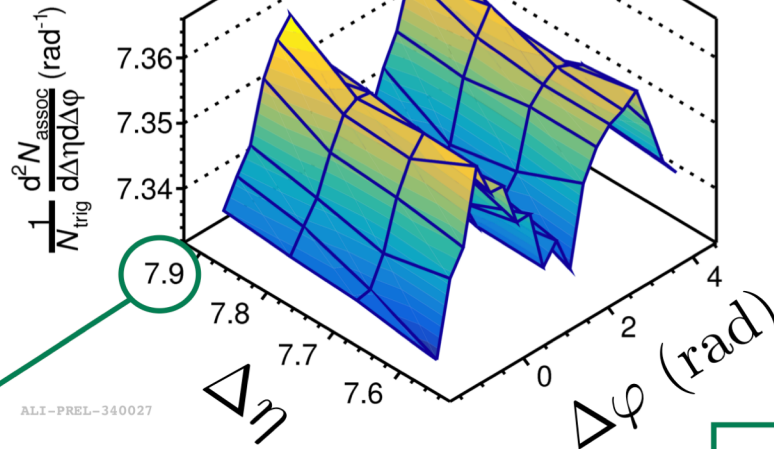
CMS, JHEP 09 (2010) 091

ALICE 5TeV p+Pb

ALICE Preliminary
p-Pb $\sqrt{s_{NN}} = 5.02 \text{ TeV}$
 $p_T^{t,a} > 0 \text{ GeV}/c$

FMD1,2-FMD3
(0-5%)-(60-100%)
VOA multiplicity

p \rightarrow \leftarrow Pb



ALI-PREL-340027

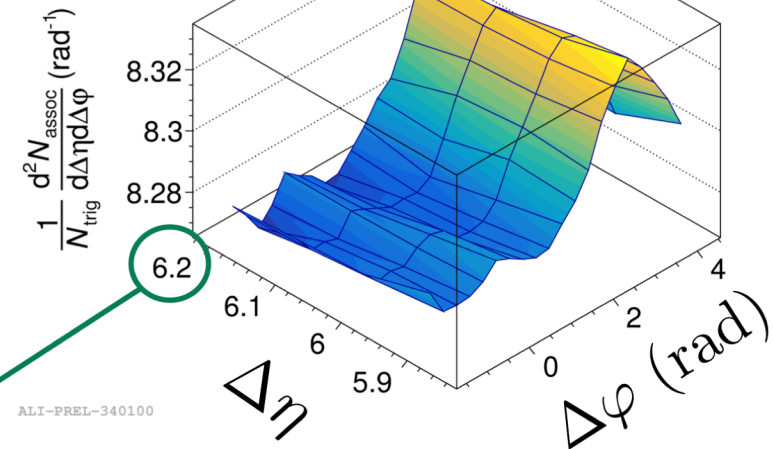
7.9

ALICE 13TeV p+p

ALICE Preliminary
pp $\sqrt{s} = 13 \text{ TeV}$
 $p_T^{t,a} > 0 \text{ GeV}/c$

FMD1,2-FMD3
(0-0.1%)-(0-100%)
VOM multiplicity

p \rightarrow \leftarrow p

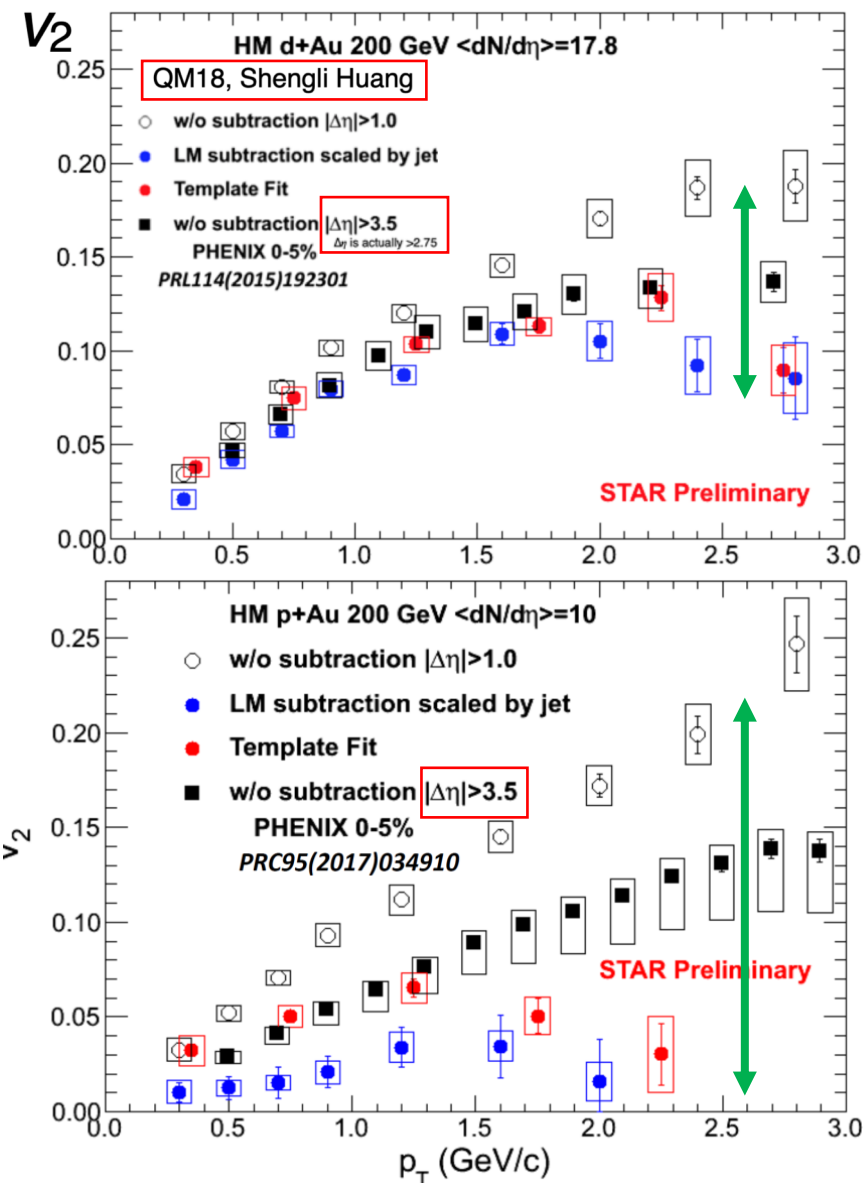
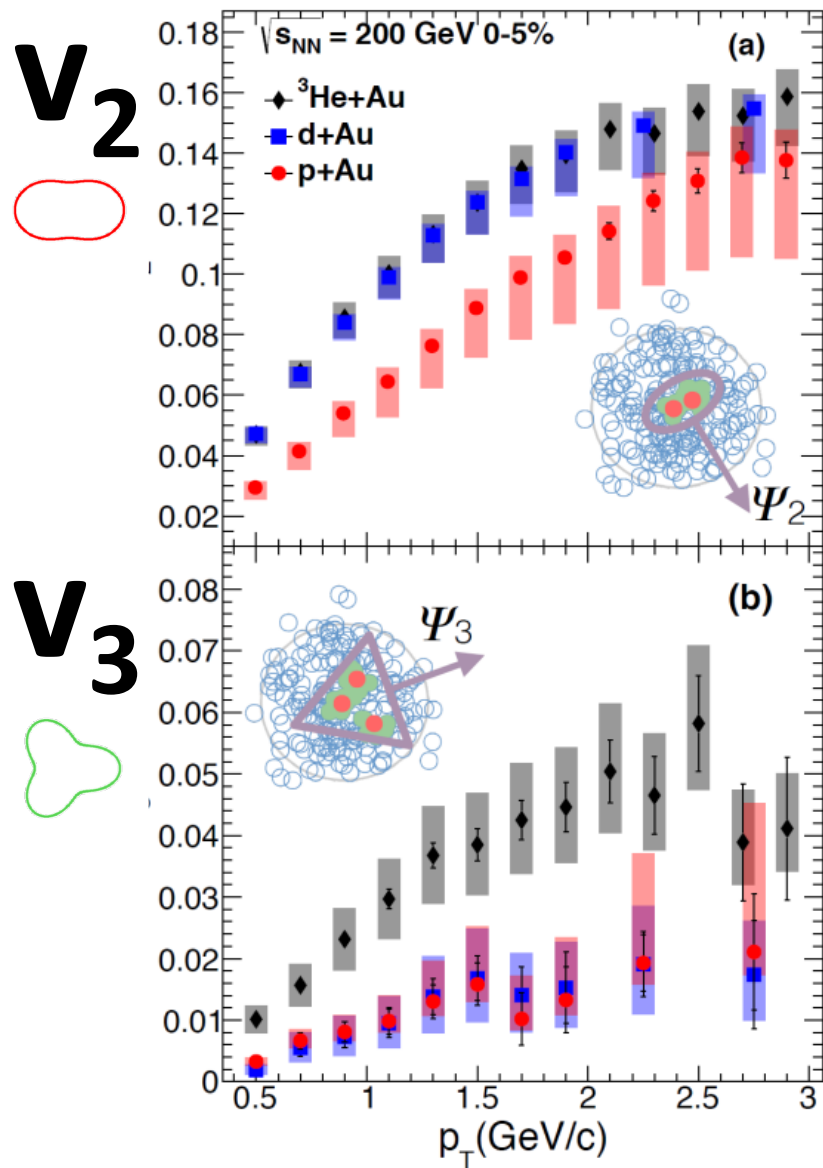
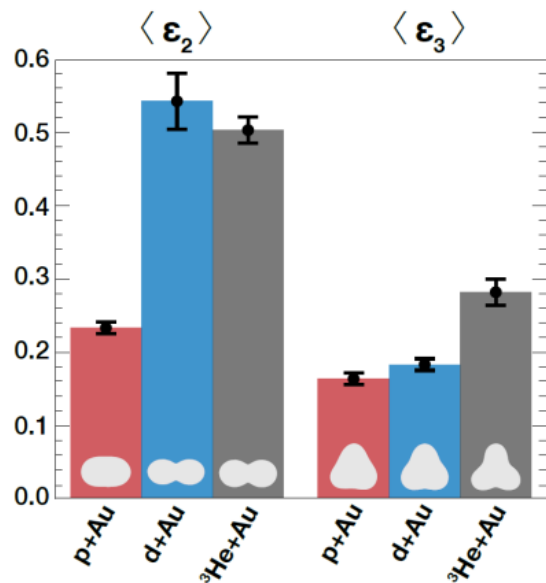


ALI-PREL-340100

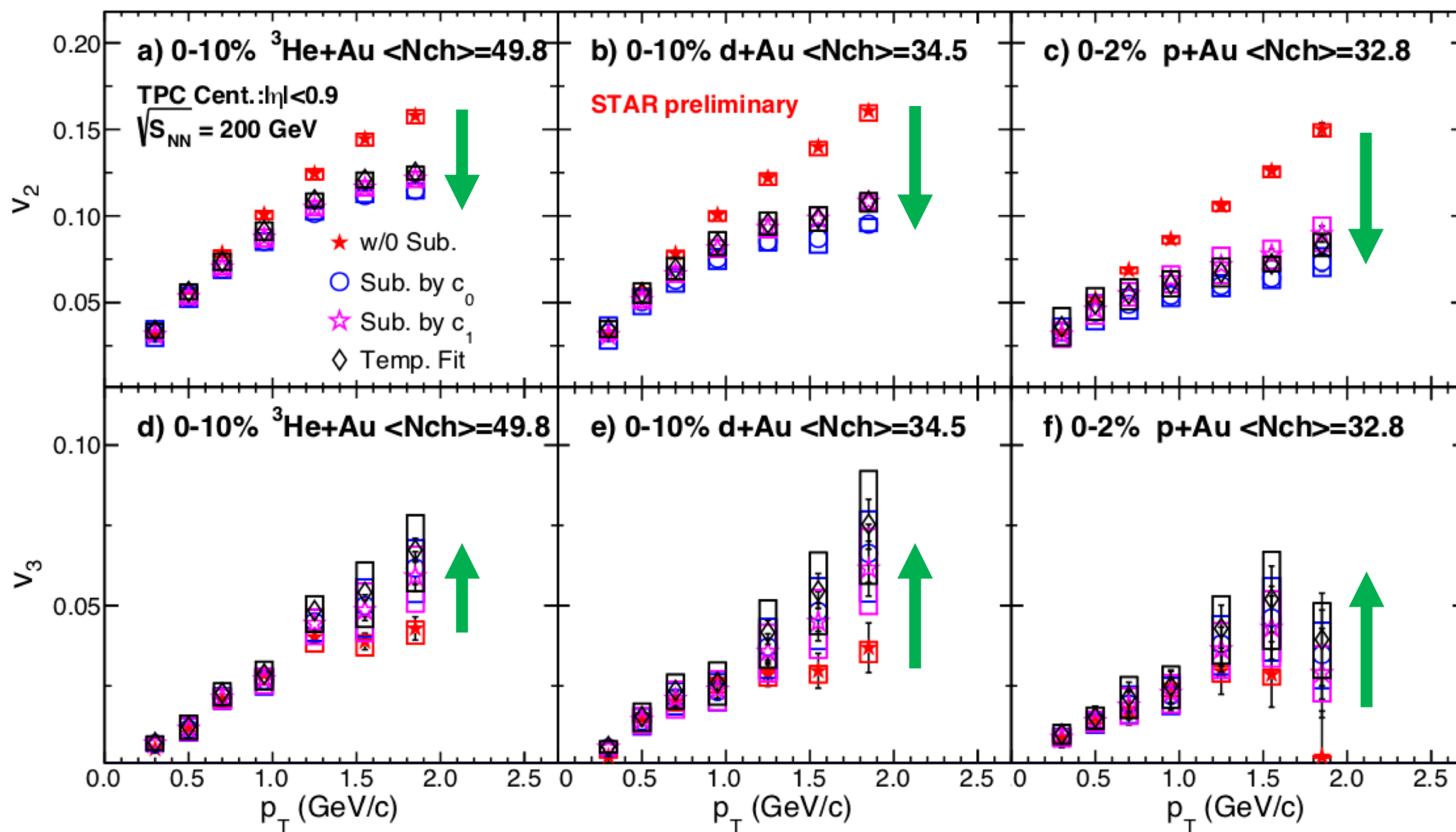
6.2

関口さん、なんで違う？

PHENIX Nature (形状の寄与)

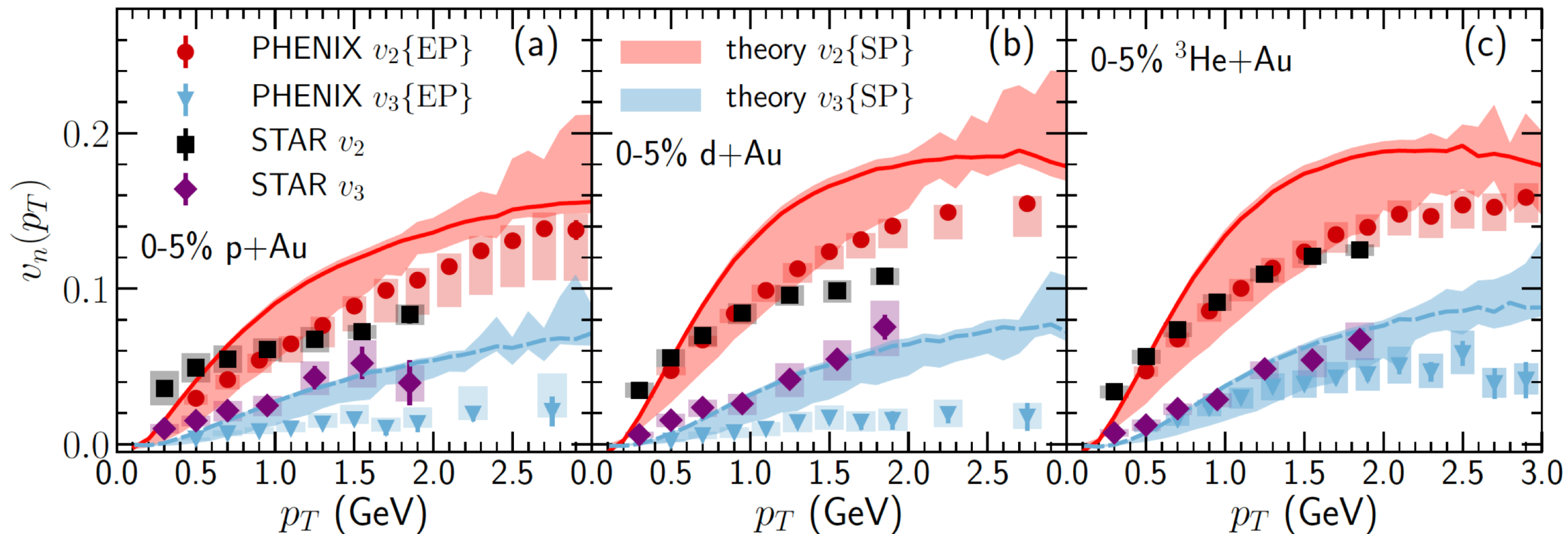


STAR QM19 (多重度の寄与)

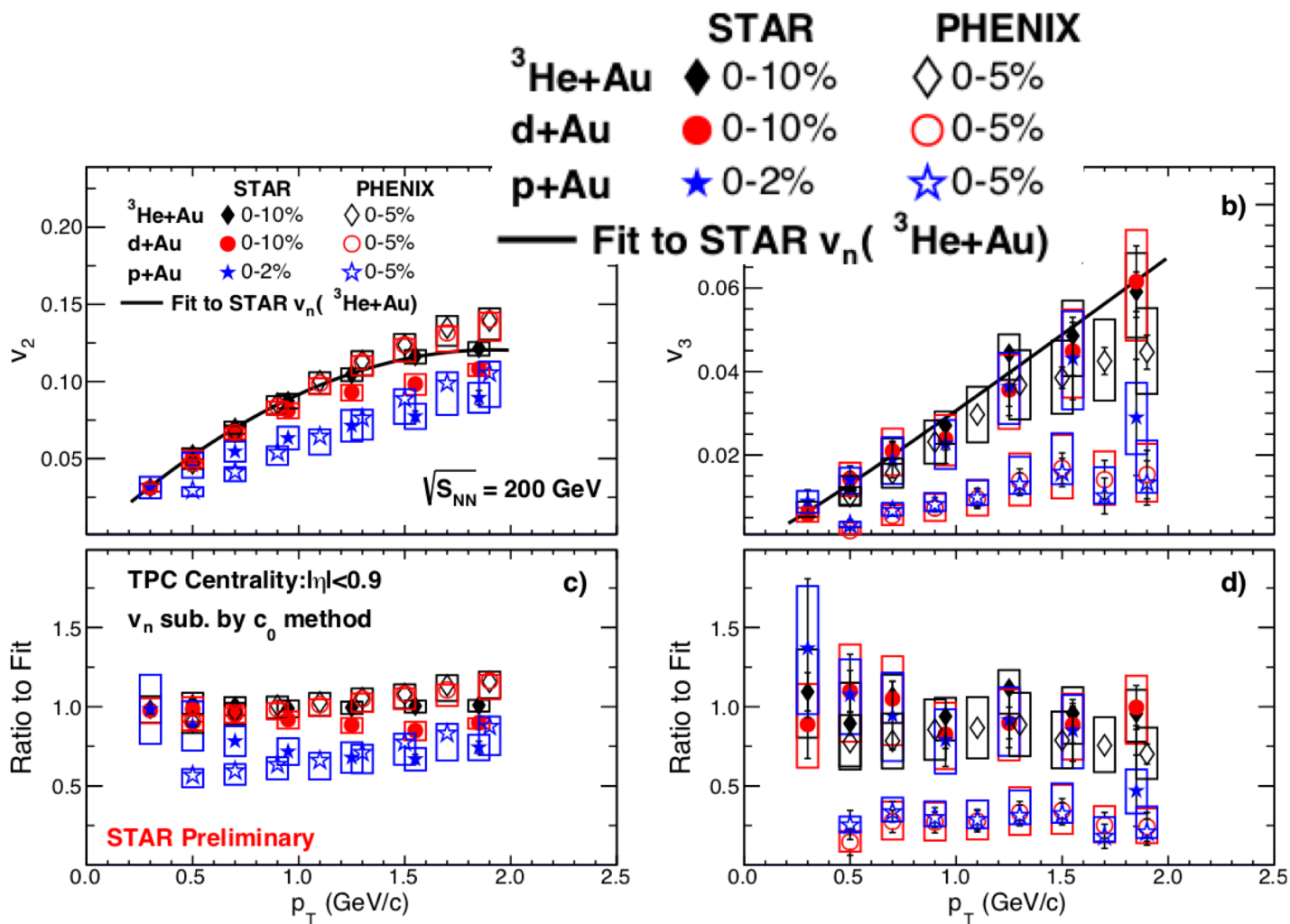


PHENIX, STAR, モデルの比較

B. Schenke, C. Shen, P. Tribedy, arXiv: 1908.06212



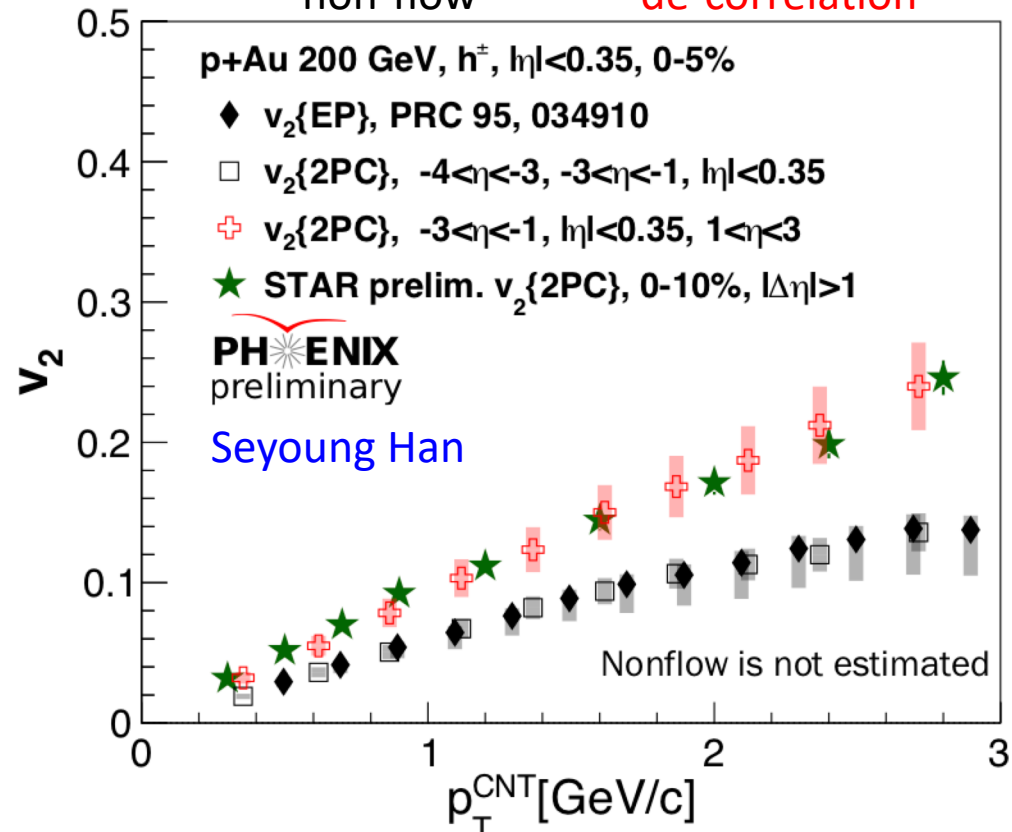
PHENIX, STARの争い (それぞれの実験内部での争いの方が大変)



v_3 (p+Au, d+Au)に違い

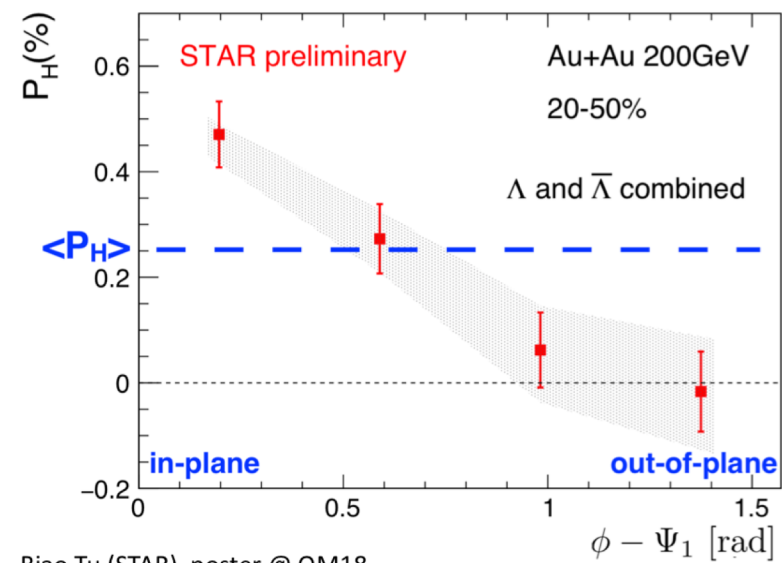
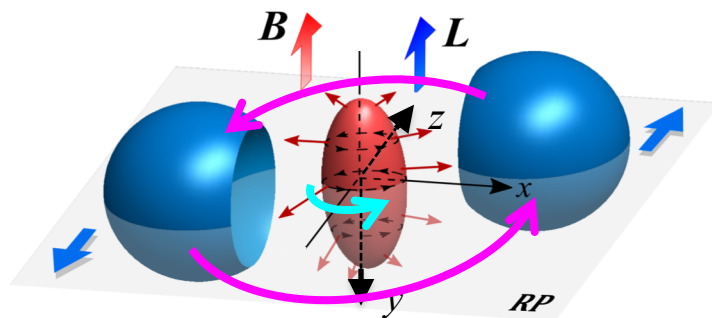
$$\sqrt{\frac{(B1-C)(B2-C)}{(B1-B2)}} \quad \sqrt{\frac{(B2-C)(F2-C)}{(B2-F2)}}$$

non-flow de-correlation

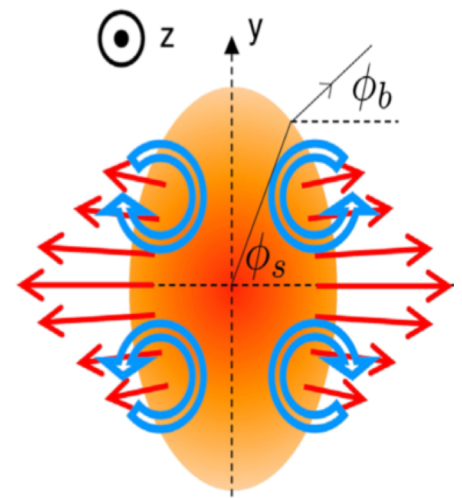
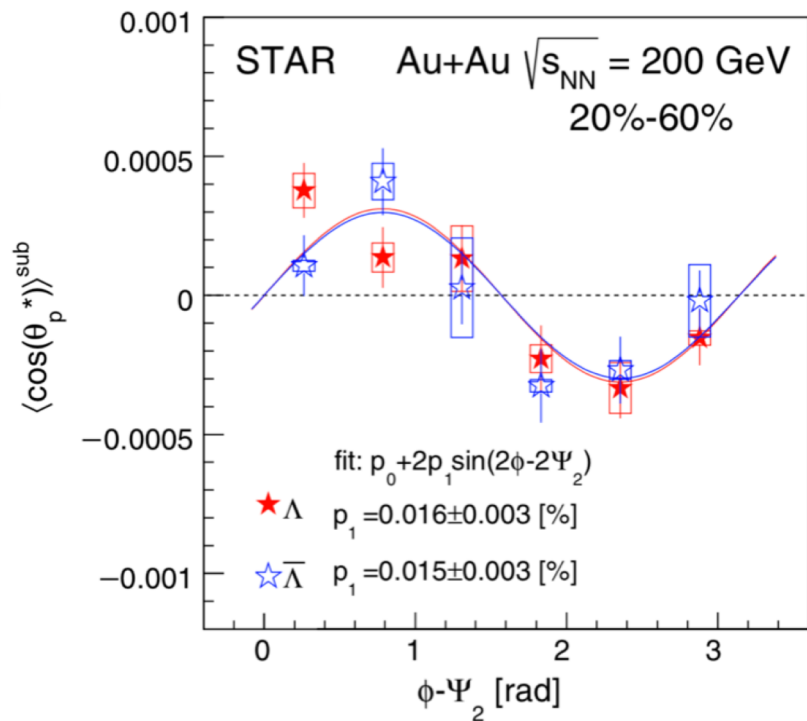
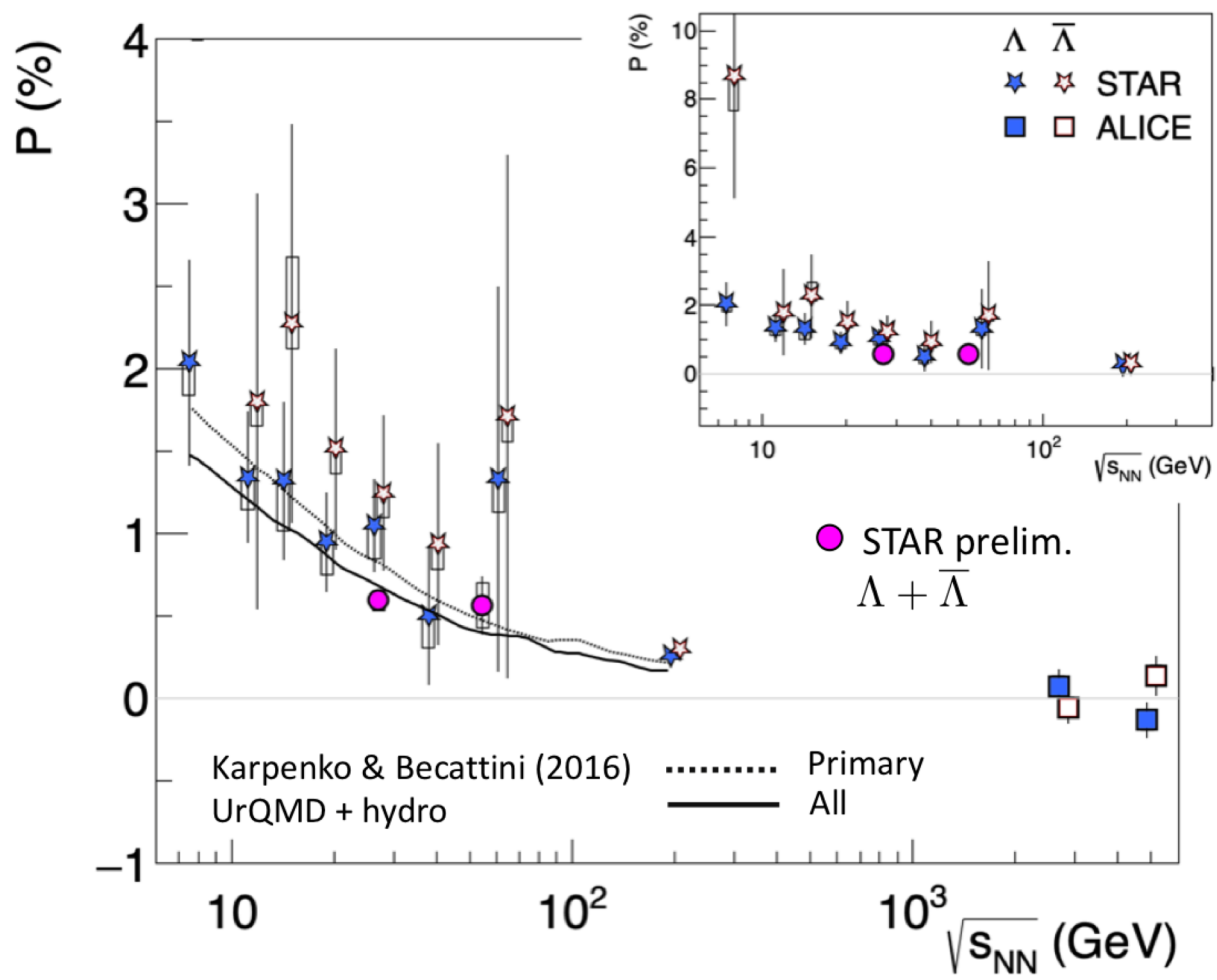


まずは、 v_2 の決着を!

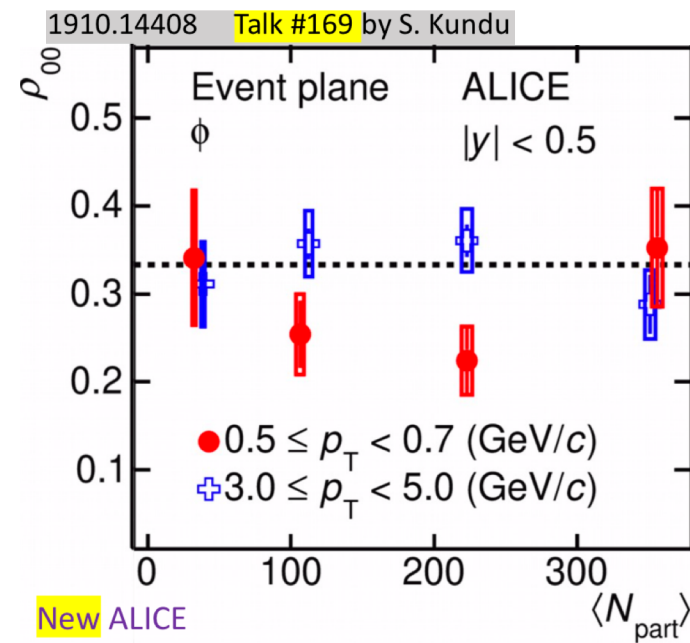
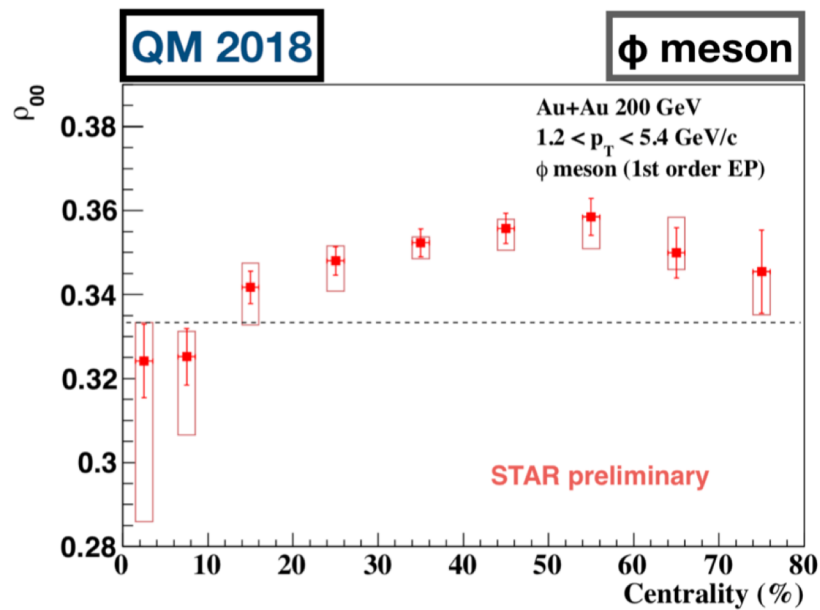
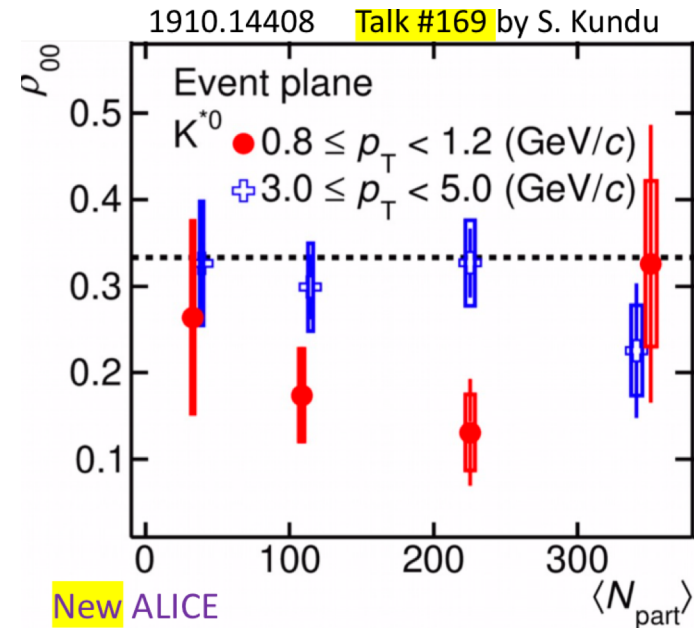
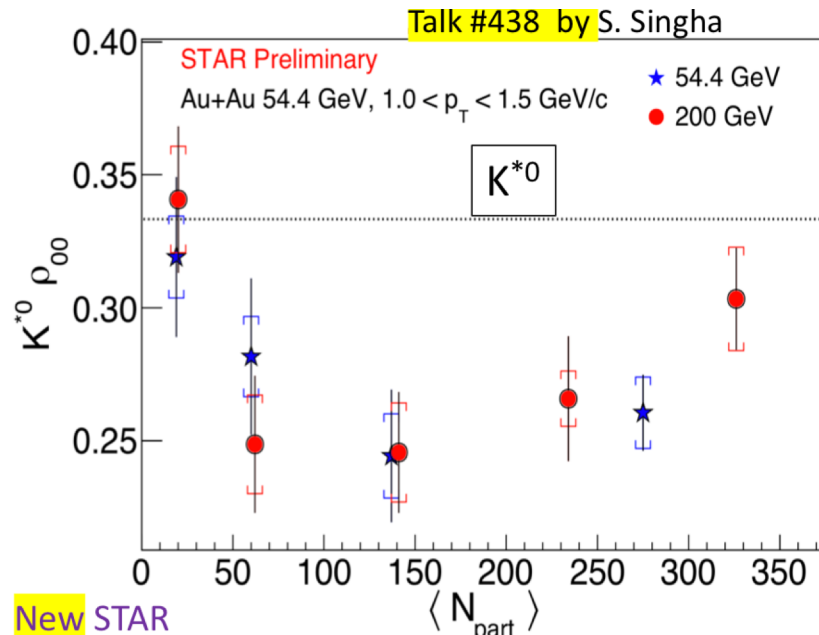
系の渦とラムダ偏極



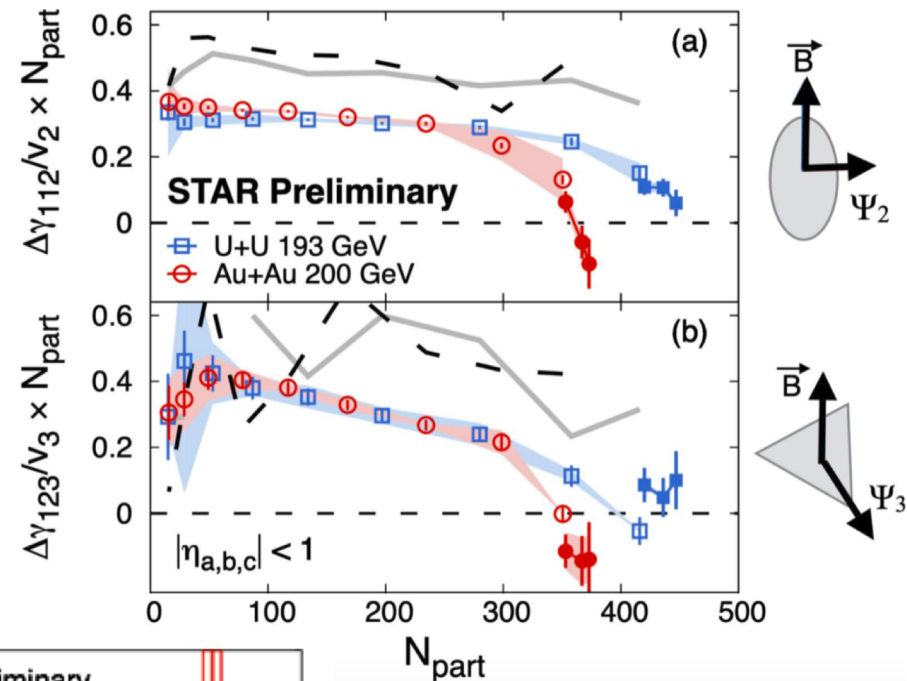
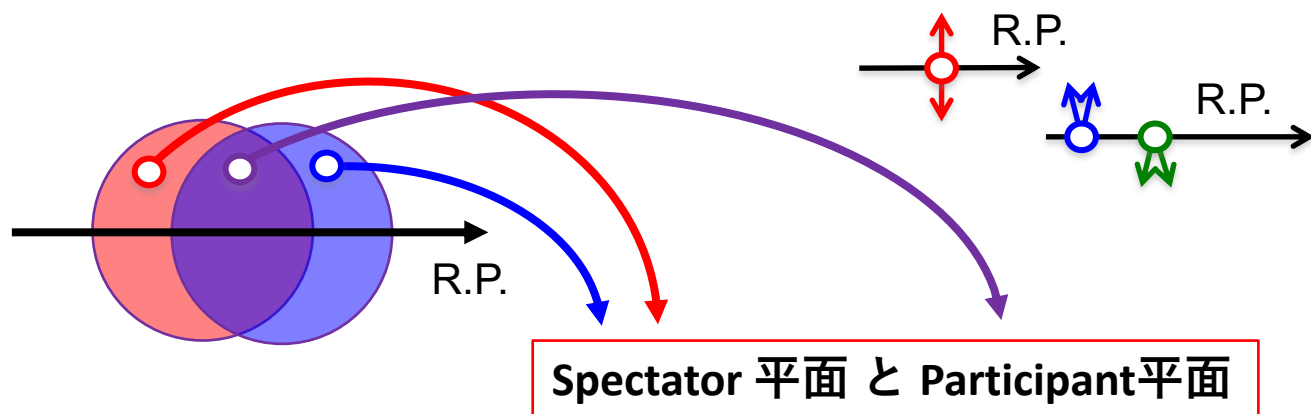
Biao Tu (STAR), poster @ QM18



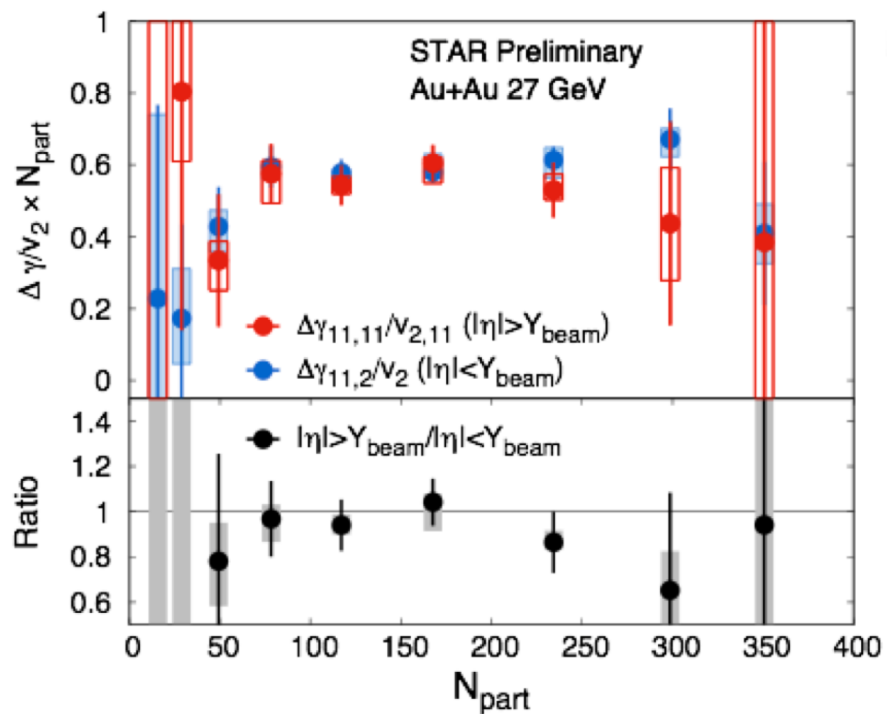
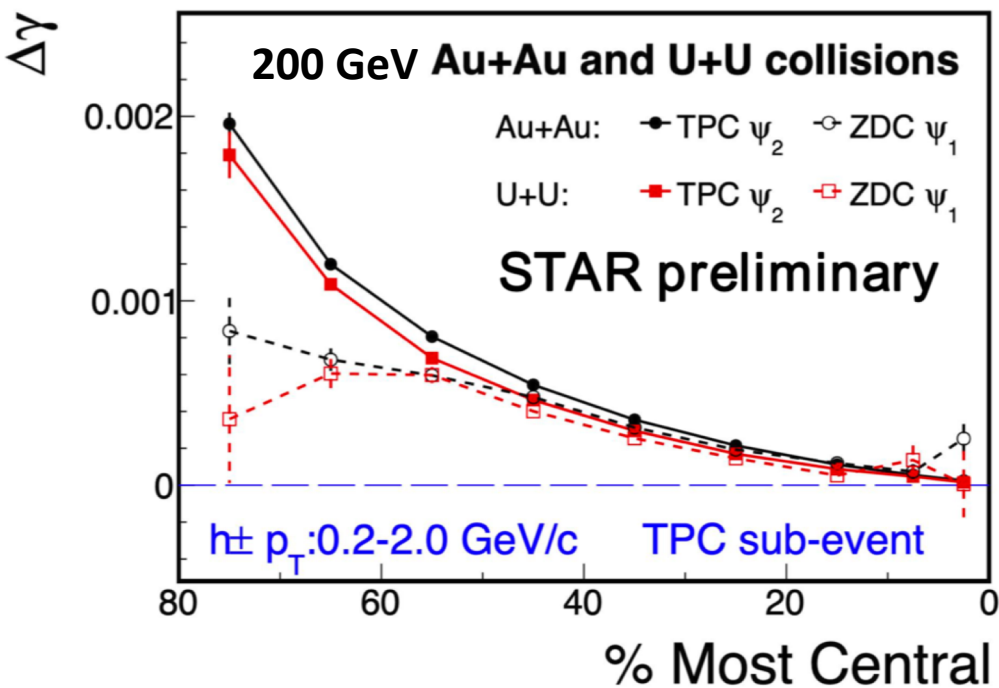
K*0, ϕのスピン整理



カイラル磁場効果 (CME)



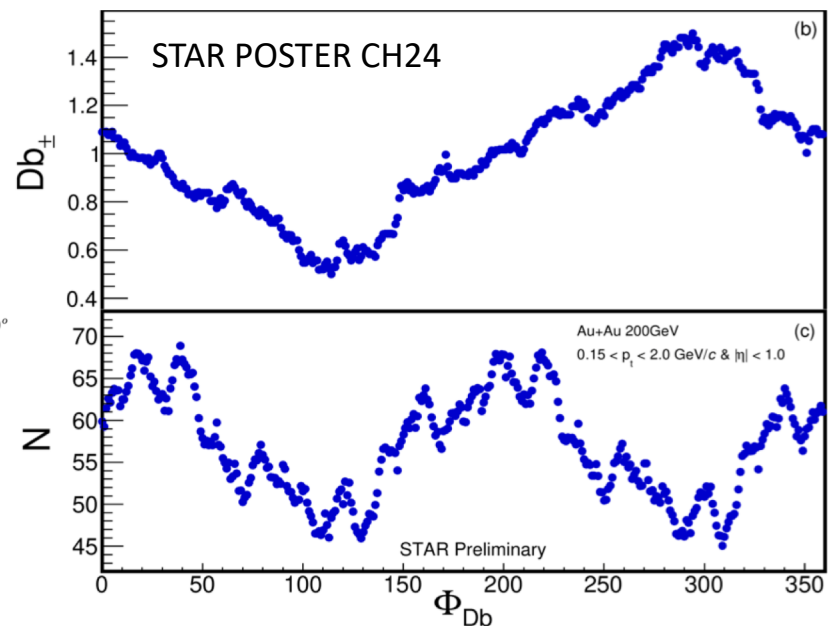
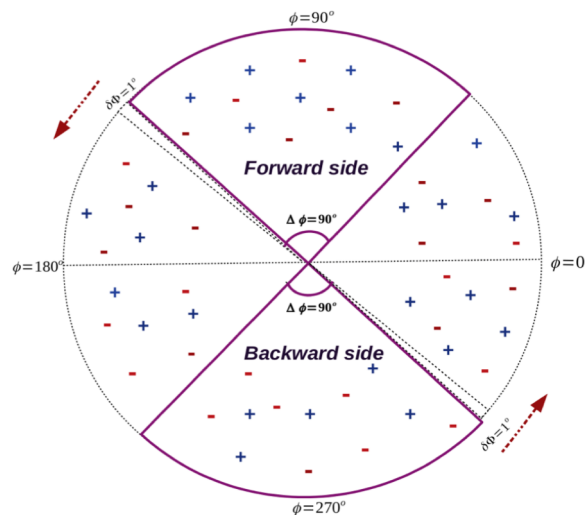
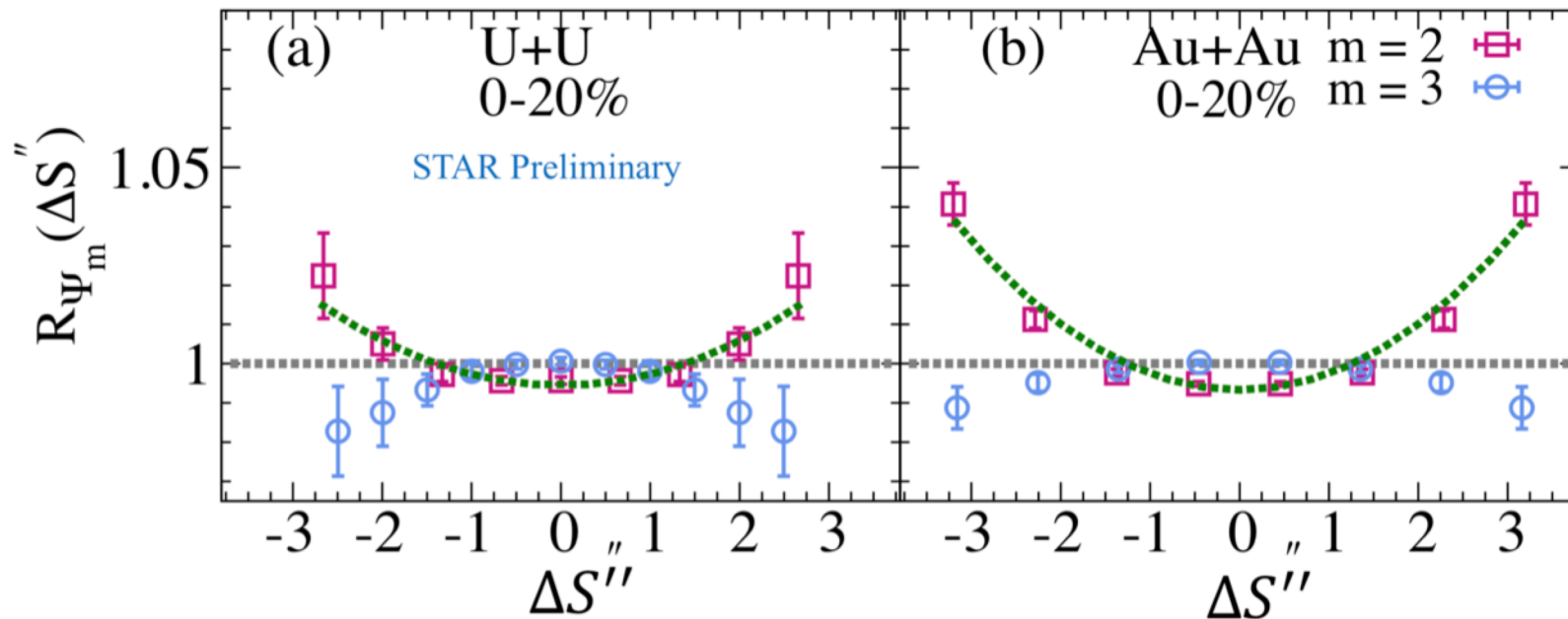
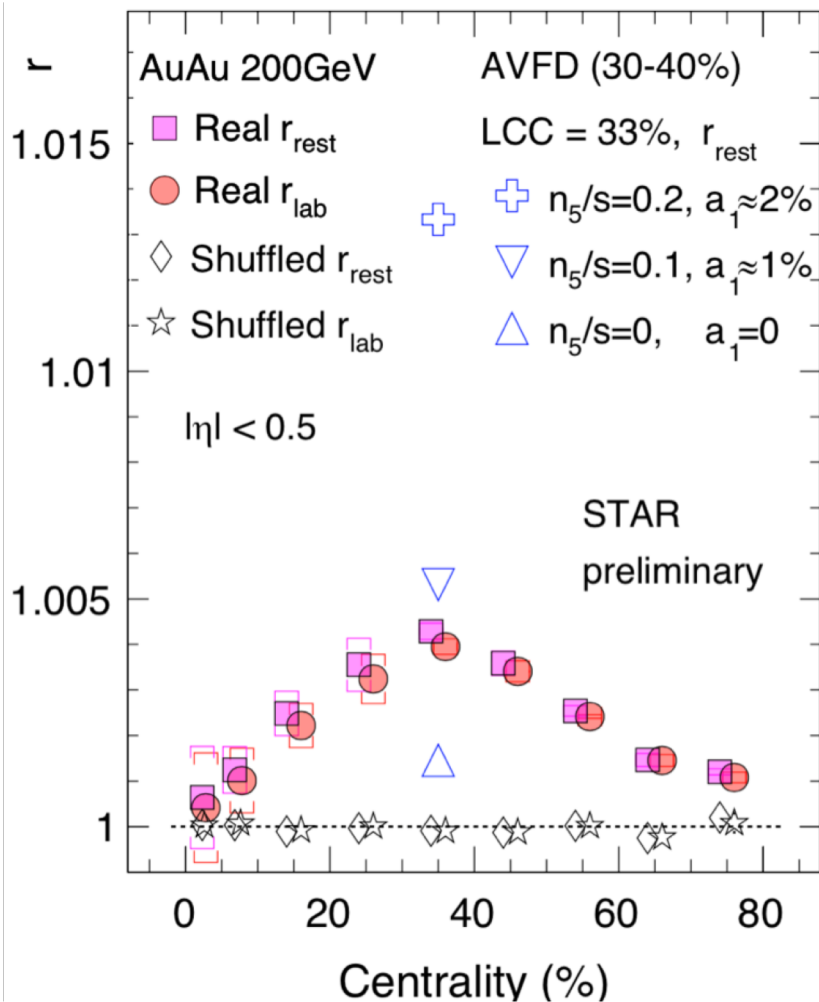
Jie Zhao talk #667



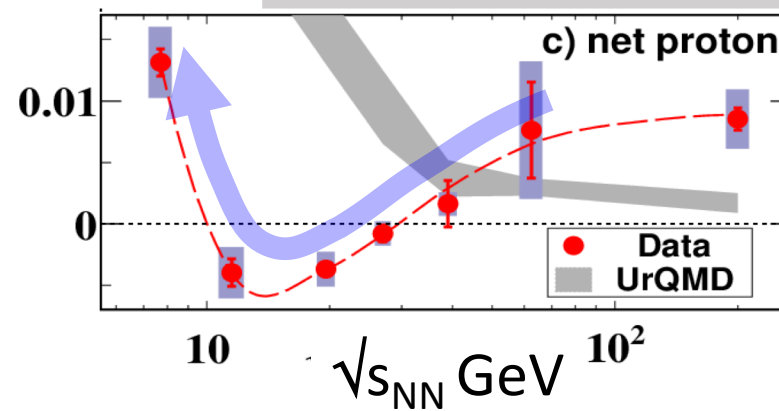
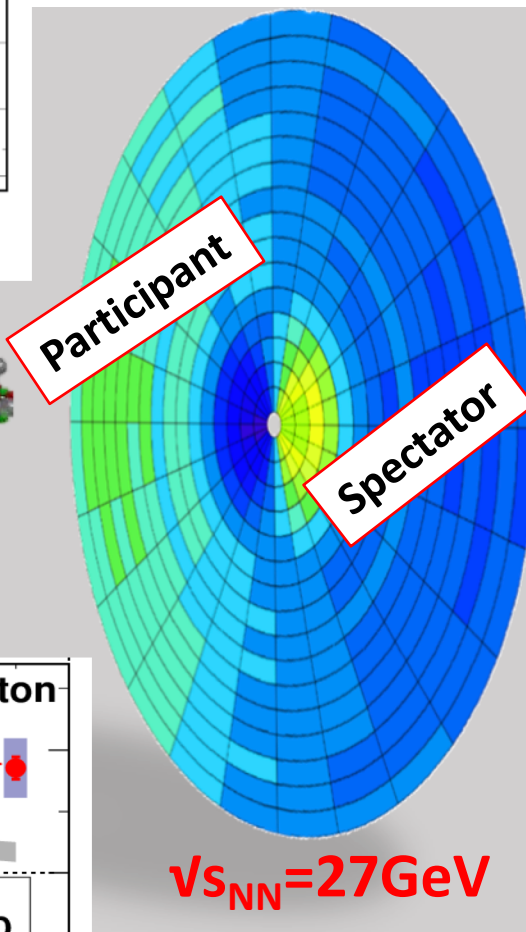
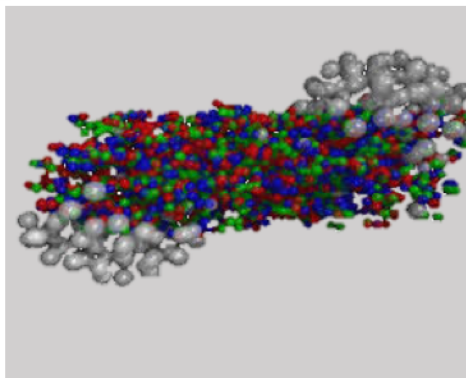
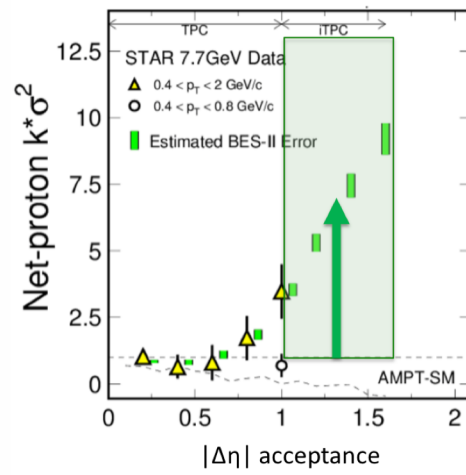
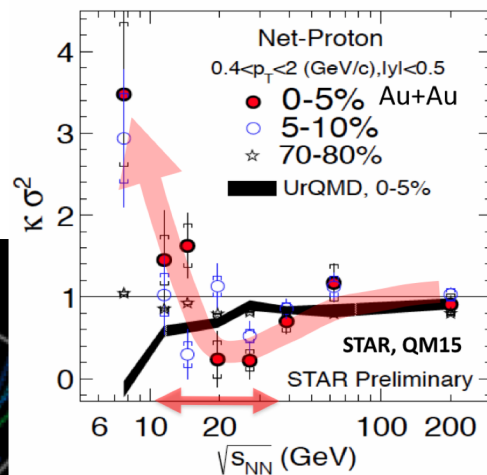
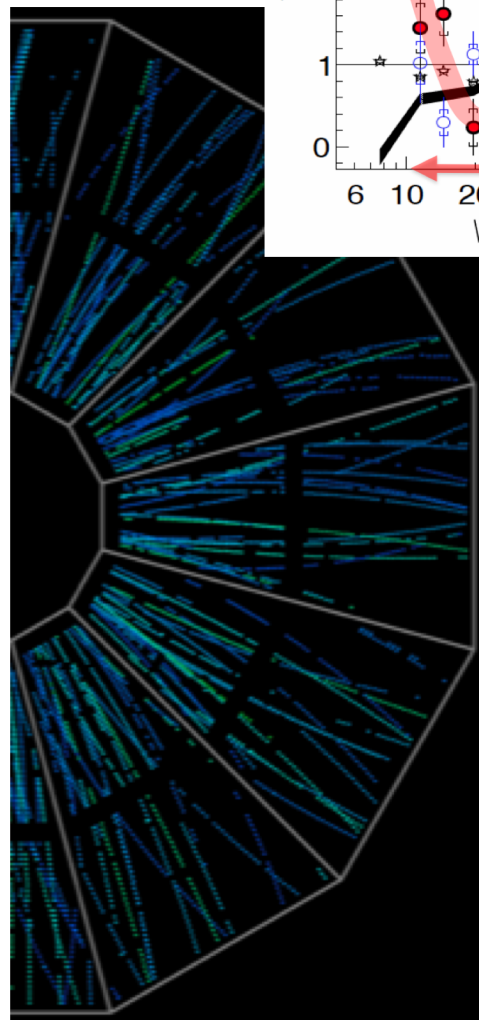
with new EPD
($|\eta| = 2 \sim 5$)

カイラル磁場効果 (CME)

blind analysis with Isobar
to come soon



new STAR detectors for BES2



まとめ

- ・ 揺らぎ、フリーズアウト
- ・ v_1, v_2 フロー、小さい系
- ・ 渦、磁場